

**Reaserch Article**

## **Evaluating and Comparing the Performance of the Alibaba and Forty Thieves Algorithm Compared to Selected Meta-heuristic Algorithms**

Fatemeh Delbari<sup>1</sup>  | Ali Akbar Neghabi<sup>\*2</sup>  | Jalal Izziy<sup>3</sup> 

<sup>1</sup>Department of Computer Engineering and Information Technology, Islamic Azad University, Sabzevar Branch, Sabzevar, Iran,  
[Fatemadelbari73@gmail.com](mailto:Fatemadelbari73@gmail.com)

<sup>2</sup>Department of Computer Engineering and Information Technology, Islamic Azad University, Sabzevar Branch, Sabzevar, Iran,  
[Aa\\_neghabi@iaus.ac.ir](mailto:Aa_neghabi@iaus.ac.ir)

<sup>3</sup>Department of Computer Engineering and Information Technology, Islamic Azad University, Sabzevar Branch, Sabzevar, Iran,  
[J.Izziy90@gmail.com](mailto:J.Izziy90@gmail.com)

**Corresponding Author**

\*Ali Akbar Neghabi, Assistant Professor, Department of Computer Engineering and Information Technology, Islamic Azad University, Sabzevar Branch, Sabzevar, Iran,  
[Aa\\_neghabi@iaus.ac.ir](mailto:Aa_neghabi@iaus.ac.ir)

**Received:** 29 November 2024

**Revised:** 31 December 2024

**Accepted:** 23 March 2025

### **Abstract**

Nature has always been a suitable model for humans so that researchers can model the body structure and movement model of animals and biological behavior of creatures, creating algorithms that are inspired by them and can be used to optimize and solve complex problems. The Alibaba and Forty Thieves algorithm is one of the meta-heuristic algorithms that is inspired by the story of Alibaba and the Forty Thieves. In this algorithm, the city where the story takes place is considered as the search space and the thieves act as the search agents. Also, Alibaba is considered as the target and optimal answer to the problem. Given the breadth of meta-heuristic algorithms and their wide application in various fields, it seems necessary to investigate the performance of such algorithms. This paper aims to compare the performance of the Forty Thieves and Alibaba algorithm with seven other algorithms including the Herd of Horses, Harris's Hawk, African Vulture, Ant Lion, Bat, Firefly, and Whale optimization algorithms. The CEC 2017 standard function set and three criteria such as best solution, standard deviation, and average execution time have been used to evaluate the selected algorithms' performance. The simulation results indicate that the African Vulture and Harris's Hawk algorithms performed significantly better than the Forty Thieves and Alibaba algorithm, as well as other algorithms, in most functions. Overall, the performance of the Forty Thieves and Alibaba algorithm is better than that of the Ant Lion, Bat, and Firefly algorithms.

**Keywords:** Alibaba and forty thieves, Meta-heuristic algorithms, Harris's Hawk, African vulture.

## پژوهشی

# ارزیابی و مقایسه ای عملکرد الگوریتم علی بابا و چهل دزد با برخی الگوریتم های فرالبتکاری

فاطمه دلبیری<sup>۱</sup> | علی اکبر نقابی<sup>۲\*</sup> | جلال ایزی<sup>۳</sup>

### چکیده:

طبيعت هميشه الگويي مناسب برای انسان‌ها بوده است تا محققان بتوانند با الگوبرداری از ساختار بدن و مدل حرکت حیوانات و رفتارهای زیستی موجودات، الگوریتم‌هایی را به وجود آورند که الهام‌گرفته از آن‌ها بوده و برای بهینه‌سازی و حل مسائل پیچیده به کار برده شوند. الگوریتم علی بابا و چهل دزد یکی از الگوریتم‌های فرالبتکاری است که از داستان علی بابا و چهل دزد الهام‌گرفته شده است. در این الگوریتم، شهری که داستان در آن اتفاق می‌افتد به عنوان فضای جستجو در نظر گرفته شده و دزدها به عنوان عامل‌های جستجو عمل می‌کنند. همچنین، علی بابا به عنوان هدف و پاسخ بهینه مسئله در نظر گرفته شده است. با توجه به گسترده‌گی الگوریتم‌های فرالبتکاری و نیز کاربرد وسیع آن‌ها در حوزه‌های مختلف، بررسی عملکرد چنین الگوریتم‌هایی لازم به نظر می‌رسد. پژوهش حاضر قصد دارد عملکرد الگوریتم چهل دزد و علی بابا را با هفت الگوریتم دیگر شامل الگوریتم‌های گله اسب، شاهین هریس، کرکس آفریقایی، شیر مورچه، خفاش، کرم شب‌تاب و الگوریتم نهنگ مقایسه نماید. برای ارزیابی عملکرد الگوریتم‌های انتخابی از مجموعه توابع استاندارد CEC2017 استفاده شده و همچنین برای مقایسه عملکرد از سه معیار بهترین پاسخ، انحراف معیار و میانگین زمان اجرا استفاده شده است. نتایج شبیه‌سازی نشان می‌دهد که الگوریتم کرکس آفریقایی و شاهین هریس به طور قابل توجهی در مقایسه با الگوریتم چهل دزد و علی بابا و همچنین در قیاس با سایر الگوریتم‌ها در اکثر توابع عملکرد بهتری داشته‌اند. همچنین، به طور معمول این الگوریتم عملکرد بهتری از الگوریتم‌های شیر مورچه، خفاش و کرم شب‌تاب داشته است.

۱گروه مهندسی کامپیوتر و فناوری اطلاعات، دانشگاه آزاد اسلامی واحد سبزوار، سبزوار، ایران،  
Fatemadelbari73@gmail.com

۲گروه مهندسی کامپیوتر و فناوری اطلاعات، دانشگاه آزاد اسلامی واحد سبزوار، سبزوار، ایران،  
Aa\_neghabi@iaus.ac.ir

۳گروه مهندسی کامپیوتر و فناوری اطلاعات، دانشگاه آزاد اسلامی واحد سبزوار، سبزوار، ایران،  
J.iziy90@gmail.com

نویسنده مسئول  
علی اکبر نقابی، استادیار، گروه مهندسی کامپیوتر و فناوری اطلاعات، دانشگاه آزاد اسلامی واحد سبزوار، سبزوار، ایران،  
Aa\_neghabi@iaus.ac.ir

تاریخ دریافت: ۱۴۰۳/۹/۹

تاریخ بازنگری: ۱۴۰۳/۱۰/۱۱

تاریخ پذیرش: ۱۴۰۴/۱/۳

<https://doi.org/10.82195/ntds.2025.1192011>

کلیدواژه‌ها: الگوریتم علی بابا و چهل دزد، الگوریتم‌های فرالبتکاری، الگوریتم شاهین هریس، الگوریتم کرکس آفریقایی.

## ۱- مقدمه

بهینه‌سازی یکی از مفاهیم اساسی در علوم کامپیوتر، مهندسی، اقتصاد و سایر رشته‌ها است. این فرایند به کمک الگوریتم‌ها و روش‌های مختلف، بهترین راه حل ممکن برای یک مسئله خاص را پیدا می‌کند. روش‌های مرسوم حل مسائل بهینه‌سازی برای بهینه‌سازی فرایندها، تصمیم‌گیری‌ها، طراحی سیستم‌ها و حتی برنامه‌های کاربردی مختلف استفاده می‌شوند<sup>[۱]</sup>. این امر به کارایی و بهره‌وری بالاتر در مسائل پیچیده کمک می‌کند و درنهایت به صرفه‌جویی در زمان، هزینه و منابع منجر می‌شود. بسیاری از مسائل بهینه‌سازی پیچیده‌تر و مشکل‌تر از آن هستند که با روش‌های مرسوم بهینه‌سازی نظری روش‌های دقیق ریاضی و نظایر آن قابل حل باشند. از جمله راه حل‌های موجود در برخورد با این گونه مسائل، استفاده از الگوریتم‌های تقریبی، ابتکاری و فرالبتکاری می‌باشد. این الگوریتم‌ها یک جواب بهینه را در زمان مناسبی ارائه می‌دهند<sup>[۲]</sup>.

الگوریتم‌های فرالبتکاری، الگوریتم‌هایی هستند که جواب‌ها را باکیفیت بالا و در زمان کوتاهی برای مسائل بهینه‌سازی پیچیده ارائه می‌دهند<sup>[۳]</sup>. این الگوریتم‌ها جواب‌ها را باکیفیت بالا و در زمان کوتاهی برای مسائل بهینه‌سازی پیچیده ارائه می‌دهند<sup>[۳]</sup>. هرچند ضمانتی برای دستیابی به جواب دقیق با استفاده از این الگوریتم‌ها وجود ندارد ولی توانایی بالای آن‌ها در دستیابی به جواب‌های نزدیک به بهینه در زمان کوتاه برای این مسائل موجب شهرت فراوان آن‌ها شده است. درواقع الگوریتم‌های فرالبتکاری یکی از انواع الگوریتم‌های بهینه‌سازی تقریبی هستند و قابل کاربرد در طیف گسترده‌ای از مسائل می‌باشند. اخیراً استفاده از الگوریتم‌های فرالبتکاری برای حل مسائل بهینه‌سازی پیوسته و گسسته بهطور شگفت‌آوری رشد فزاینده‌ای داشته است. مهم‌ترین عاملی که سبب شده است استفاده از این الگوریتم‌ها مورد توجه جوامع علمی مختلف باشد، سادگی اعمال شدن و کاربرد آن‌ها برای حل مسائل با ماهیت بسیار متفاوت است<sup>[۴]</sup>.

در سال‌های اخیر، الگوریتم‌های الهام گرفته از طبیعت توجه زیادی را به خود جلب کرده‌اند<sup>[۵]</sup>. الگوریتم بهینه‌سازی چهل دزد و علی بابا<sup>[۶]</sup> یکی از این روش‌ها است که از رفتار جستجوی دزدان در داستان «علی بابا و چهل دزد» الهام گرفته است. در این داستان علی بابا با استفاده از زیرکی و خلاقیت، موفق به نفوذ به غار دزدان و دستیابی به گنجینه‌های آن‌ها می‌شود. این داستان الگویی برای توسعه الگوریتم چهل دزد و علی بابا است که با استفاده از راهکارهای زیرکانه و خلاقانه برای یافتن بهترین راه حل در مسائل بهینه‌سازی مورد استفاده قرار می‌گیرد. هدف کلی این الگوریتم ارائه یک روش بهینه‌سازی جدید با تقلید از داستان علی بابا و چهل دزد به عنوان الگوی هماننگ رفتار اجتماعی اعمال انسان است.

باتوجه به گستردگی کاربرد و اهمیت الگوریتم‌های فرالبتکاری، ارزیابی عملکرد آن‌ها امری ضروری و حیاتی است. این ارزیابی‌ها معمولاً از طریق آزمایش بر روی مسائل و مقایسه نتایج حاصل با سایر روش‌ها انجام می‌شود. بررسی کارایی و قابلیت‌های الگوریتم‌های فرالبتکاری می‌تواند به شناسایی نقاط قوت و ضعف آن‌ها کمک کرده و امکان بهینه‌سازی و بهبود کارایی آن‌ها را فراهم سازد. ارزیابی دقیق الگوریتم‌های فرالبتکاری، همچنین می‌تواند راهنمایی‌های ارزشمندی برای انتخاب مناسب‌ترین الگوریتم‌ها در مسائل مختلف علمی و صنعتی ارائه دهد<sup>[۷]</sup>. الگوریتم بهینه‌سازی چهل دزد و علی بابا اولین بار در پژوهش مالک بریک و همکاران در سال ۲۰۲۱ معرفی شده است. در آن پژوهش، عملکرد الگوریتم با الگوریتم‌های شعله پروانه<sup>[۸]</sup>، جستجوی کلاع<sup>[۹]</sup>، گرگ خاکستری<sup>[۱۰]</sup>، منطق فازی<sup>[۱۱]</sup>، کلونی مورچگان<sup>[۱۲]</sup>، ازدحام ذرات<sup>[۱۳]</sup>، جستجوی گرانشی<sup>[۱۴]</sup>، ژنتیک<sup>[۱۵]</sup> و الگوریتم تکامل تفاضلی<sup>[۱۶]</sup> مورد مقایسه قرار گرفته است. با توجه به اهمیت کاربرد الگوریتم‌های فرالبتکاری

<sup>۱</sup>Ali Baba and the Forty Thieves (AFT)

<sup>۲</sup>Moth-flame Optimization Algorithm (MFO)

<sup>۳</sup>Crow Search Algorithm (CSA)

<sup>۴</sup>Grey Wolf Optimizer (GWO)

<sup>۵</sup>Fuzzy Logic Algorithm (FLOA)

<sup>۶</sup>Ant Colony Optimization (ACO)

<sup>۷</sup>Particle Swarm Optimization (PSO)

<sup>۸</sup>Gravitational Search Algorithm (GSA)

<sup>۹</sup>Genetic Algorithm (GA)

<sup>۱۰</sup>Differential Evolution (DE)

در حل مسائل مختلف، بررسی و مقایسه عملکرد این الگوریتم‌ها ضروری بنظر می‌رسد. در تحقیقات لنجم شده تاکنون، عملکرد الگوریتم چهل دزد و علی‌بابا با الگوریتم‌های گله اسب<sup>۱</sup> [۱۷]، شاهین هریس<sup>۲</sup> [۱۸]، کرکس آفریقایی<sup>۳</sup> [۱۹]، شیرمور چه<sup>۴</sup> [۲۰]، خفاش<sup>۵</sup> [۲۱]، کرم شبتاب<sup>۶</sup> [۲۲] و الگوریتم نهنگ<sup>۷</sup> [۲۳] مقایسه نشده است. بنابر این، این پژوهش قصد دارد عملکرد الگوریتم چهل دزد و علی‌بابا را با ۷ الگوریتم اشاره شده مقایسه نماید. برای بررسی عملکرد الگوریتم‌های انتخابی از ۲۳ تابع استاندارد CEC2017 استفاده شده است. عملکرد این الگوریتم‌ها با استفاده از سه معیار بهترین پاسخ، انحراف معیار و میانگین زمان اجرا مقایسه شده است. این معیارها کمک می‌کنند تا نقاط قوت و ضعف هر الگوریتم شناسایی شده و از این اطلاعات برای بهبود کاربرد آن‌ها در حوزه‌های مختلف بهره برده شود. در ادامه الگوریتم‌های فرالبتکاری موردبحث در این پژوهش معرفی می‌شوند.

## ۲- مرور ادبیات تحقیق

### ۲-۱- الگوریتم‌های فرالبتکاری

الگوریتم‌های فرالبتکاری، دسته‌ای از الگوریتم‌های بهینه‌سازی می‌باشند که الهام‌گرفته از فرایندهای طبیعی و تکاملی، مانند تکامل تفاضلی، مهاجرت ابرها و تکامل ذرات هستند[۲۴]. این الگوریتم‌ها برای حل مسائل بهینه‌سازی در مسائلی که فضای جستجوی پیچیده‌ای دارند، بسیار مؤثر هستند. تفاوت مهم الگوریتم‌های فرالبتکاری با روش‌های بهینه‌سازی سنتی در این است که آن‌ها به جستجو در فضای سراسری می‌پردازند و بهترین راه حل‌ها را به طور تصادفی پیدا می‌کنند. در عمل، این الگوریتم‌ها به صورت موازی یا متواالی فرایند بهینه‌سازی را ادامه می‌دهند تا به یافتن یک راه حل بهینه یا نزدیک به بهینه برسند. این الگوریتم‌ها، به دلیل قابلیت دسترسی به راه حل‌های تقریباً بهینه در زمان‌های اجرای مناسب، برای حل مسائل بهینه‌سازی سخت طراحی شده و به دلیل قابلیت کاربرد در طیف گسترده‌ای از مسائل، بسیار موردتوجه قرار گرفته اند. الگوریتم‌های ژنتیک، بهینه‌سازی ازدحام ذرات و بهینه‌سازی کلونی مورچگان، نمونه‌های معروف از این دسته الگوریتم‌ها هستند که با موفقیت برای حل مسائل پیچیده استفاده شده‌اند[۲۵].

### ۲-۲- مروری بر الگوریتم‌های فرالبتکاری در این پژوهش

در این بخش، توضیح مختصری در خصوص الگوریتم‌هایی که در این پژوهش استفاده شده است، ارائه خواهد شد.

### ۲-۲-۱- الگوریتم چهل دزد و علی‌بابا

الگوریتم چهل دزد و علی‌بابا توسط مالک بریک، محمد هاشم ریالت و حسین الذوبی در سال ۲۰۲۱ پیشنهادشده است. این الگوریتم از داستان علی‌بابا و گنج سارقان الهام‌گرفته است. در این داستان، یک تقابل بین علی‌بابا و خدمتکارش و نیز چهل دزد برقرار است. رفتار سارقان در داستان و همچنین روش‌های هوشمندانه‌ای که خدمتکار علی‌بابا (مرجانه) برای نجات او به کار می‌برد، رفتارهایی هستند که این الگوریتم بهینه‌سازی را شبیه‌سازی می‌کند[۲۶]. در این الگوریتم، فضای جستجو معادل با شهری است که داستان در آن اتفاق می‌افتد و دزدها به عنوان عامل‌های جستجو در نظر گرفته می‌شوند. علی‌بابا نیز به عنوان پاسخ بهینه مسئله در نظر گرفته می‌شود. اصول زیر از داستان علی‌بابا به مفروضات اساسی الگوریتم تبدیل شده است:

- چهل دزد به صورت گروهی با هم همکاری می‌کنند و از یک نفر از سارقان راهنمایی می‌گیرند تا خانه علی‌بابا را پیدا کنند. این اطلاعات ممکن است درست باشد یا نباشد.
- چهل دزد مسافتی از مسافت اولیه را طی می‌کنند تا بتوانند خانه علی‌بابا را پیدا کنند.

<sup>۵</sup>Horse herd Optimization Algorithm (HOA)

<sup>۶</sup>Harris Hawks Optimizer (HHO)

<sup>۷</sup>African Vulture Optimization Algorithm (AVOA)

<sup>۸</sup>Ant Lion Optimizer (ALO)

<sup>۹</sup>Bat Algorithm (BA)

<sup>۱۰</sup>Firefly Algorithm (FA)

<sup>۱۱</sup>Whale Optimization Algorithm (WOA)

- مرجانه می تواند بارها با روش های زیر کانه سارقان را فریب دهد تا از علی بابا در برابر دزدان محافظت کند.

در الگوریتم چهل دزد و علی بابا، سه وضعیت اساسی وجود دارد که ممکن است هنگام جستجوی سارقان برای پیدا کردن علی بابا رخ دهد که عبارت اند از: [۲۷]

- وضعیت اول: در مرحله اول، سارقان ممکن است بتوانند علی بابا را کمک اطلاعاتی که از شخص دیگری به دست آورده اند، ردیابی کنند. در این صورت مکان های جدید سارقان را می توان از رابطه (۱) به دست آورد:

$$x_{t+1}^i = gbest + [Td_t(best_t^i - y_t^i) r1 + Td_t(y_t^i - m_t^{a(i)}) r2] sgn(rand - 0.5) \quad (1)$$

که در آن  $x_{t+1}^i$  موقعیت  $i$  امین دزد در لحظه جدید است.  $y_t^i$  موقعیت علی بابا نسبت به دزد در هر تکرار است.  $gbest$  نشان دهنده بهترین موقعیت سراسری است که تاکنون توسط هر دزدی در هر تکرار بدست آمده است،  $m_t^{a(i)}$  نشان دهنده سطح هوش و ذکاوت مرجانه است که برای گمراه کردن سارقان می باشد.  $Td_t$  فاصله ردیابی سارقان در زمان در آن لحظه است.  $r1$  و  $r2$  اعداد تصادفی هستند که با توزیع یکنواخت بین ۰ و ۱ می باشند.  $sgn$  برای تغییر جهت فرایند جستجو است.

- وضعیت دوم: در فاز دوم، ممکن است سارقان متوجه شوند که فریب خورده اند، بنابراین به طور تصادفی فضای جستجوی علی بابا را کشف می کنند. در این صورت مکان های جدید سارقان را می توان با استفاده از رابطه (۲) به دست آورد:

$$x_{t+1}^i = Td_t [(u_i - l_j) rnad + l_j] \quad (2)$$

به طوری که  $x_{t+1}^i$  مکان جدید سارقان را نشان می دهد،  $Td_t$  فاصله ردیابی سارقان در آن لحظه است.  $l_j$  و  $u_i$  کران بالا و پایین جستجو را نشان می دهند.  $rnad$  یک عدد تصادفی بین ۰ و ۱ می باشد.

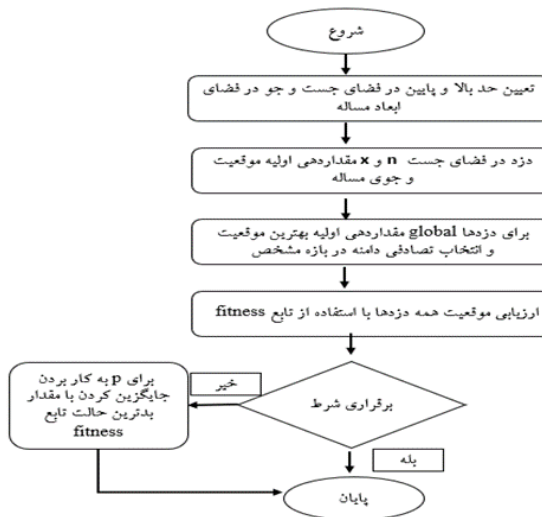
- وضعیت سوم: در فاز سوم، به منظور بهبود ویژگی های اکتشاف و بهره برداری می توان از رابطه (۳) استفاده کرد. در این صورت می توان مکان های جدید سارقان را به شرح زیر به دست آورد:

$$x_{t+1}^i = gbest - [Td_t(best_t^i - y_t^i) r1 + Td_t(y_t^i - m_t^{a(i)}) r2] sgn(rand - 0.5) \quad (3)$$

این رابطه همانند رابطه (۱) می باشد با این تفاوت که علامت آن به منفی تغییر پیدا کرده است.

دیاگرام الگوریتم علی بابا و چهل دزد در شکل ۱ نشان می دهد که این الگوریتم شامل چندین مرحله اصلی زیر است:

- تعیین حد بالا و حد پایین فضای جستجو
- یک جمعیت اولیه از دزدان به طور تصادفی در فضای جستجو پراکنده می شوند. هر دزد نمایانگر یک راه حل ممکن برای مسئله بهینه سازی است.
- هر دزد بر اساس تابع هدف ارزیابی می شود. تابع هدف کیفیت هر راه حل را اندازه گیری می کند و به هر دزد یک امتیاز می دهد.
- سارقان در محیط های محلی خود به جستجو می پردازند و بهترین نقاط را برای پنهان شدن پیدا می کنند.
- بهترین راه حل های یافته شده به عنوان رهبران جدید انتخاب می شوند و سایر سارقان به سمت این رهبران حرکت می کنند.
- مراحل ارزیابی، جستجوی محلی و به روزرسانی جمعیت تا زمانی که معیار توقف برآورده شود، تکرار می شوند.



شكل ۱: دیاگرام الگوریتم علی‌بابا و چهل دزد

Figure 1: Algorithm diagram of Alibaba and forty thieves

## ۲-۲-۲- الگوریتم شاهین هریس

الگوریتم شاهین هریس در سال ۲۰۱۹ توسط علی‌اصغر حیدری ارائه شده است. این الگوریتم یک روش بهینه‌سازی مبتنی بر جمعیت است که الهام‌گرفته از رفتار مشارکتی و روش تعقیب و گریز شاهین‌های هریس در غافلگیری طعمه است. در این استراتژی هوشمند، چندین شاهین با همکاری یکدیگر، از جهات مختلف به طعمه حمله می‌کنند تا آن را به دام بیندازند. این رفتار شاهین‌های هریس برای حل مسائل بهینه‌سازی مورداستفاده قرار می‌گیرد [۲۸]. شاهین‌های هریس، به عنوان یکی از باهوش‌ترین پرندگان در طبیعت شناخته می‌شوند. آن‌ها پرندگان شکاری هستند که در گروه‌های ثابت در نیمه جنوبی آریزونا، ایالات متحده زندگی می‌کنند. این پرندگان معمولاً به صورت تکی شکار می‌کنند، اما شاهین هریس با فعالیت‌های گروهی و هماهنگ با سایر اعضای خانواده‌اش، از سایر پرندگان شکاری متمایز است. آن‌ها در تعقیب، ردیابی، محاصره و حمله به طعمه نشان داده‌اند که توانایی‌های مبتکرانه‌ای دارند. آن‌ها به عنوان شکارچیان هماهنگ و با توانایی‌های بر جسته شناخته می‌شوند و مأموریت تیمی خود را با آغاز صبح از محل زندگی‌شان، که بیشتر در درختان بلند و بزرگ است، آغاز می‌کنند. به دنبال حرکات اعضا خانواده‌شان می‌گردند و سعی دارند در حمله آگاهانه‌شان هماهنگ باشند [۲۹]. وقتی شاهین‌های هریس جمع می‌شوند، برخی از آن‌ها به ترتیب تورها یا جستجوهای کوتاهی را انجام می‌دهند و سپس بر روی مکان‌های نسبتاً بلندی فرود می‌آیند. این روش باعث می‌شود که شاهین‌ها گاهی یک حرکت "جهشی" را در سرتاسر منطقه انجام دهند، دوباره به هم متصل شوند، و چندین بار از هم جدا شوند تا به طور فعال به دنبال حیوانات تحت پوشش، معمولاً یک خرگوش، بگردند. تاکتیک اصلی شاهین‌های هریس برای شکار، "پرش غافلگیرانه" یا استراتژی "هفت کشته" است که در آن، چندین شاهین سعی می‌کنند به طور همزمان از جهات مختلف به طعمه حمله کنند و بر روی یک خرگوش در حال فرار متمرکر شوند. حمله ممکن است به سرعت با گرفتن طعمه‌ی غافلگیر شده در چند ثانیه تکمیل شود، اما گاهی اوقات، به دلیل قابلیت‌های فرار و رفتار طعمه، شامل شیرجه‌های چندگانه و کوتاه و سریع در نزدیکی طعمه به مدت چند دقیقه هم می‌شود. شاهین‌های هریس می‌توانند انواع مختلفی از سبک‌های تعقیب را نشان دهند که به ماهیت پویای شرایط و الگوهای فرار از طعمه بستگی دارد. در الگوریتم شاهین هریس، شاهین‌های هریس راه حل‌های کاندید هستند و بهترین راه حل کاندید در هر مرحله به عنوان طعمه موردنظر یا تقریباً بهینه در نظر گرفته می‌شود. شاهین‌های هریس به طور تصادفی در مکان‌هایی نشسته و منتظرند. اگر شانس ۹ را برای هر استراتژی نشستن در نظر بگیریم، بر اساس دو استراتژی، طعمه شناسایی می‌شود، شاهین‌ها بر اساس موقعیت سایر شاهین‌ها و خرگوش نشسته و منتظر هستند یا بر روی درختان بلند به صورت تصادفی (مکان تصادفی در محدوده خانه گروه)، نشسته و منتظر هستند که این رفتار در رابطه (۴) نشان داده شده است.

$$X(t+1) = \begin{cases} X_{rand}(t) - r_1 |X_{rand}(t) - 2r_2 X(t)| & q \geq 0.5 \\ (X_{rabbit}(t) - X_m(t)) - r_3(LB + r_4(UB - LB)) & q < 0.5 \end{cases} \quad (4)$$

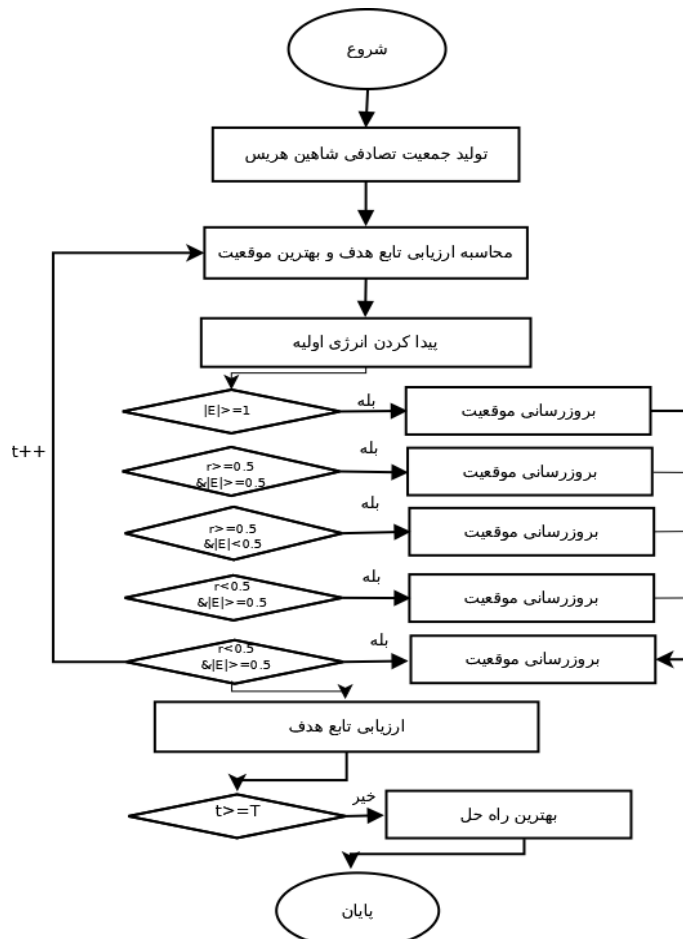
که در آن  $X(t+1)$  بردار موقعیت شاهین‌ها در تکرار  $t$  است،  $X_{rabbit}(t)$  موقعیت خرگوش،  $X(t)$  بردار موقعیت فعلی شاهین‌ها،  $r_1, r_2, r_3, r_4$  و  $q$  اعداد تصادفی در داخل  $(0, 1)$  هستند که در هر تکرار بهروز می‌شوند،  $LB$  و  $UB$  کران‌های بالایی و پایینی متغیرها را نشان می‌دهند،  $X_{rand}(t)$  موقعیت یک شاهین تصادفی از جمعیت فعلی و  $X_m$  میانگین موقعیت از جمعیت فعلی شاهین‌ها است. در قانون اول راه حل‌هایی، بر اساس یک مکان تصادفی متأثر از موقعیت قبلی و سایر شاهین‌ها (به تصادف) ایجاد می‌شود. اما در قانون دوم معادله ۱ ما یک مدل برای ایجاد مکان‌های تصادفی در محدوده  $LB$  و  $UB$  ارائه شده است. تفاوت مکان بهترین موقعیت کنونی و میانگین موقعیت گروه را به اضافه یک مؤلفه با مقیاس تصادفی بر اساس دامنه متغیرها داریم. متغیرهای  $r_3$  و  $r_4$  ضریب مقیاس برای افزایش ماهیت تصادفی بودن کران بالا و پایین است. در این قانون، یک طول حرکت با مقیاس تصادفی به  $LB$  اضافه شده است سپس، یک ضریب مقیاس پذیری تصادفی را برای مؤلفه در نظر گرفته شده تا روند متنوع‌سازی جمعیت در مناطق مختلف فضای ویژگی کشف شود. میانگین موقعیت شاهین‌ها با استفاده از معادله (۵) به دست می‌آید.

$$X_m(t) = \frac{1}{N} \sum_{i=1}^N X_i(t) \quad (5)$$

که در آن  $X_i(t)$  مکان هر شاهین را در تکرار  $t$  و  $N$  نشان‌دهنده تعداد کل شاهین‌ها است.

بر اساس شکل ۲، الگوریتم شاهین هریس شامل چندین مرحله اصلی است که عبارتند از:

- جمعیت اولیه‌ای از شاهین‌های هریس ایجاد می‌شود.
- محاسبه ارزیابی تابع هدف و پیداکردن بهترین موقعیت
- مقدار انرژی اولیه تعریف و بهروزرسانی انجام می‌شود.
- در صورت برقراری شرط، موقعیت شاهین‌ها بهروزرسانی می‌شود.
- اگر شرط برقرار نبود، تابع تناسب برای هر راه حل ارزیابی و به بهترین راه حل بازمی‌گردیم.



شکل ۲: دیاگرام الگوریتم شاهین هریس  
Figure 2: Diagram of Shahin Harris Algorithm

### ۳-۲-۲- الگوریتم کرکس آفریقایی

کرکس های آفریقایی به دو گروه از پرندگان شکاری معروف هستند، کرکس های آفریقایی جهان جدید که از آمریکا منشأ می گیرند و کرکس های آفریقایی جهان قدیمی که در مناطق اروپا، آسیا و آفریقا هستند. در استرالیا و قاره جنوبی قطبی هیچ کرکس آفریقایی وجود ندارد. بیشتر کرکس های آفریقایی بالدار و بدون پر منظم هستند [۳۰]. درگذشته فکر می شد که آنها باید بی بر باشند تا از آلودگی در هنگام تغذیه بر روی پوسیدگی ها جلوگیری شود، اما تحقیقات اخیر نشان می دهد که پوست برخنه نقش مهمی در تنظیم دمای بدن دارد. به همین دلیل، در هوای سرد سر خود را در بدن غوطه می زنند و در هوای گرم گردن خود را باز می کنند. ویژگی دیگر آنها این است که بر خلاف بیشتر پرندگان دیگر، لانه نمی سازند. کرکس های آفریقایی بهندرت به حیوانات سالم حمله می کنند، اما ممکن است حیوان زخمی یا بیمار را بکشد [۳۱]. کرکس های آفریقایی حیوانات مفیدی برای جلوگیری از پوسیدگی اجسام دارند و نقش مهمی در اکوسیستم دارند و نابودی آنها خطرات جدی بهداشتی را برای جوامع انسانی به وجود می آورد. الگوریتم بهینه سازی کرکس آفریقایی توسط بنیامین عبدالله زاده و همکاران در سال ۲۰۲۱ ارائه شده است. این الگوریتم الهام گرفته از رفتار جستجوی کرکس های آفریقایی برای یافتن غذا می باشد. مراحل این الگوریتم به شرح زیر است:

- تولید جمعیت اولیه: الگوریتم با تولید یک جمعیت اولیه از  $N$  کرکس که هر کدام با یک موقعیت تصادفی در فضای جستجوی مسئله مقداردهی می شوند، آغاز می شود. موقعیت هر کرکس معمولاً به عنوان یک بردار از متغیرها تعریف می شود.
- ارزیابی اولیه: هر کرکس بر اساس تابع هدف تعیین شده برای مسئله بهینه سازی ارزیابی می شود. تابع هدف ارزشی را به هر موقعیت نسبت می دهد که نشان دهنده کیفیت آن را حل است.

- جستجوی غذا: کرکس ها از دو استراتژی اصلی در جستجوی غذا استفاده می کنند:
- جستجوی محلی: کرکس ها در اطراف موقعیت فعلی خود برای یافتن غذا اقدام می کنند. این عمل برای جستجوی راه حل های بهتر در نزدیکی موقعیت کنونی استفاده می شود.
- جستجوی سراسری: سپس، کرکس ها برای اطمینان از عدم افتادن در دام بهینه های محلی، به سمت موقعیت های دورتری جابه جا می شوند. این جستجوی گسترده تر به الگوریتم اجازه می دهد که نواحی جدید در فضای جستجو را کشف کنند.
- به روزرسانی موقعیت ها: موقعیت هر کرکس با ترکیب نتایج جستجوی محلی و سراسری به روزرسانی می شود. این به روزرسانی معمولاً به صورت تصادفی کنترل شده انجام می شود؛ یعنی مقدار حرکت هر کرکس بر اساس توزیع احتمالی کنترل می شود که می تواند ثابت یا متغیر باشد.
- تکرار فرایند: مراحل جستجو و به روزرسانی موقعیت ها به صورت تکراری انجام می شوند تا زمانی که شرط خاتمه الگوریتم برقرار شود. در نهایت، وقتی الگوریتم متوقف شد، بهترین موقعیت (راه حل) که در طول فرایند به دست آمده است به عنوان خروجی گزارش می شود.

## ۴-۲-۲- الگوریتم گله اسب

الگوریتم فرالبتکاری گله اسب یک الگوریتم بهینه سازی جدید است که در سال ۲۰۲۱ توسط میر نعیمی و میر جلیلی ارائه شده است. این الگوریتم از رفتار اسب ها در سنین مختلف در طبیعت الهام گرفته شده است. الگوریتم بهینه سازی گله اسب نامیده می شود، با تقلید از شش ویژگی مهم از عملکردهای اجتماعی اسب ها در سنین مختلف ایجاد شده است که عبارت اند از: چرا رفتن، سلسه هم راتب، جامعه پذیری، تقلید، مکانیسم دفاعی و پرسه زدن است. به دلیل تعداد پارامتر های کنترل بر اساس رفتار اسب ها در سنین مختلف، عملکرد بسیار خوبی در حل مسائل پیچیده دارد [۳۲]. اسب ها در سنین مختلف رفتار متفاوتی به نمایش می گذارند و حداکثر طول عمر یک اسب حدود ۲۵ تا ۳۰ سال است. در الگوریتم گله اسب با توجه به سنتان به ۴ دسته تقسیم بندی می شوند:

- ۵ نشان دهنده اسب ها در محدوده سنی ۰-۵ سال است،

- ۶ نشان دهنده اسب ها در دامنه ۵-۱۰ سال است،

- ۷ نشان می دهد اسب ها در محدوده سنی ۱۰-۱۵ سال قرار دارند

- و ۸ اسب های بزرگ تر را نشان می دهد.

برای انتخاب سن اسب ها باید یک تکرار ماتریس جامع از پاسخ ها انجام شود.

در این راستا، می توان ماتریس را بر اساس بهترین پاسخ ها مرتب کرد و درنتیجه:

- ۱۰٪ درصد اول اسب ها از بالای ماتریس طبقه بندی شده، به عنوان اسب ۸ انتخاب می شوند.

- ۲۰٪ درصد بعدی در گروه ۷ هستند.

- اسب های ۷ و ۸ به ترتیب ۳۰٪ و ۴۰٪ اسب های باقی مانده را تشکیل می دهند.

مراحل الگوریتم گله اسب به این صورت است که در مرحله اول، ایجاد جمعیت اسب ها است که در این مرحله، تعدادی اسب به طور تصادفی در فضای جستجو ایجاد می شوند. هر اسب یک موقعیت را در فضای جستجو نشان می دهد که می تواند یک جواب احتمالی برای مسئله بهینه سازی باشد. در مرحله دوم، شبیه سازی رفتار اسب ها در سنین مختلف است، در الگوریتم گله اسب رفتار اسب ها را در گروه سنی مختلف شبیه سازی می کند که به چهار دسته، اسب های دلتا که در محدوده سنی ۵-۰ سال، اسب های گاما در محدوده سنی ۱۰-۵ سال، اسب های بتا در محدوده سنی ۱۵-۱۰ سال و سن اسب های آلفا بیشتر از ۱۵ سال است. مرحله سوم، به روزرسانی موقعیت اسب ها است که موقعیت اسب ها بر اساس رفتار اسب ها در سنین مختلف و موقعیت بهترین اسب (اسبی که بهترین جواب را پیدا کرده است) به روزرسانی می شود [۳۲]. الگوریتم گله اسب برای حل مسائل بهینه سازی با بعد بالا پیشنهاد شده است. این الگوریتم از شش ویژگی مهم اسب ها تقلید می کند که عبارت اند از: رفتن به چراگاه،<sup>۱</sup>

<sup>۱</sup> Grazing(G)

زندگی سلسله مراتبی<sup>۱</sup>، قابلیت اجتماعی<sup>۲</sup>، تقلید کردن<sup>۳</sup>، مکانیسم دفاعی<sup>۴</sup> و پرسه زدن<sup>۵</sup> می باشد. رابطه (۶) حرکت اعمال شده به اسبها در هر تکرار را نشان می دهد.

$$x^{iter,AGE} = \vec{v}_m^{iter,AGE} + x_m^{(iter-1),AGE}, \quad AGE = \alpha, \beta, \gamma, \delta \quad (6)$$

که در آن،  $x^{iter,AGE}$  موقعیت اسب  $m$ ،  $AGE$  محدوده سنی اسب در نظر گرفته شده،  $iter$  تکرار فعلی و  $\vec{v}_m^{iter,AGE}$  بردار سرعت این اسب را نشان می دهد. اسبها رفتارهای مختلفی را در سنین مختلف از خود نشان می دهند. حداکثر طول عمر یک اسب در حدود ۲۵ تا ۳۰ سال است. در این رابطه، اسبهای دلتا<sup>۶</sup> در محدوده سنی ۵ - ۰ سال، اسبهای گاما<sup>۷</sup> در محدوده سنی ۱۰ - ۵ سال، اسبهای بتا<sup>۸</sup> در محدوده سنی ۱۵ - ۱۰ سال و سن اسبهای آلفا<sup>۹</sup> بیشتر از ۱۵ سال است. یک ماتریس جامع از راه حلها باید در هر تکرار ایجاد می شود تا اسبها انتخاب گردند. در این راستا، ابتدا ماتریس بر اساس بهترین راه حلها سپس از بالای ماتریس مرتب شده ۱۰ درصد اولیه از کل اسبها به عنوان اسبهای  $\alpha$  انتخاب می شوند. ۲۰ درصد بعدی در گروه اسبهای  $\beta$  قرار می گیرند و اسبهای  $\gamma$  و  $\delta$  به ترتیب ۳۰ و ۴۰ درصد از مابقی ماتریس راه حلها را تشکیل می دهند. رابطه (۷) بردار حرکت اسبها در سنین مختلف در طول هر چرخه الگوریتم را نشان می دهد.

$$\begin{aligned} \vec{v}_m^{iter,\alpha} &= G_m^{iter,\alpha} + D_m^{iter,\alpha} \\ \vec{v}_m^{iter,\beta} &= G_m^{iter,\beta} + H_m^{iter,\beta} + S_m^{iter,\beta} + D_m^{iter,\beta} \\ \vec{v}_m^{iter,\gamma} &= G_m^{iter,\gamma} + H_m^{iter,\gamma} + S_m^{iter,\gamma} + I_m^{iter,\gamma} + D_m^{iter,\gamma} + R_m^{iter,\gamma} \\ \vec{v}_m^{iter,\delta} &= G_m^{iter,\delta} + I_m^{iter,\delta} + R_m^{iter,\delta} \end{aligned} \quad (7)$$

رابطه (۷) نشان می دهد که اسبها در چهار گروه سنی تقسیم بندی می شوند.  $\vec{v}_m^{iter,\alpha}$  بردار حرکت اسبها در گروه آلفا را نشان می دهد به طوری که اسبهای گروه آلفا دارای ویژگی چریدن ( $G_m^{iter,\alpha}$ ) و دفاعی ( $D_m^{iter,\alpha}$ ) می باشند. اسبهای گروه بتا دارای ویژگی های چریدن ( $G_m^{iter,\beta}$ )، زندگی سلسله مراتبی ( $H_m^{iter,\beta}$ )، قابلیت اجتماعی ( $S_m^{iter,\beta}$ ) و ویژگی دفاعی ( $D_m^{iter,\beta}$ ) می باشند،  $\vec{v}_m^{iter,\gamma}$  بردار حرکت اسبها در گروه بتا را نشان می دهد.  $\vec{v}_m^{iter,\gamma}$  بردار حرکت اسبها در گروه گاما را نشان می دهد به طوری که اسبهای گروه بتا دارای ویژگی های چریدن ( $G_m^{iter,\gamma}$ ،  $H_m^{iter,\gamma}$ ،  $S_m^{iter,\gamma}$ )، قابلیت اجتماعی ( $I_m^{iter,\gamma}$ )، مکانیسم دفاعی ( $D_m^{iter,\gamma}$ ) و ویژگی پرسه زدن ( $R_m^{iter,\gamma}$ ) می باشند. اسبهای گروه دلتا دارای ویژگی های چریدن ( $G_m^{iter,\delta}$ ، تقلید کردن ( $I_m^{iter,\delta}$ ) و پرسه زدن ( $R_m^{iter,\delta}$ ) می باشند،  $\vec{v}_m^{iter,\delta}$  بردار حرکت اسبها در گروه دلتا را نشان می دهد. دیاگرام الگوریتم گله اسب در شکل ۳ نشان داده شده است که شامل مراحل زیر است:

- جمعیت اسبها در فضای ویژگی مقدار دهی اولیه می شود. این مرحله شامل تعیین تعداد اسبها و موقعیت های اولیه آنها است.
- پس از مقدار دهی اولیه، تابع تناسب برای ارزیابی عملکرد هر اسب محاسبه می شود. این ارزیابی به شناسایی بهترین اسبها کمک می کند.
- اولین بهترین اسب شناسایی و به روز رسانی می شود. این اطلاعات به اسبها اجازه می دهد تا بادقت بیشتری در فضای جستجو حرکت کنند.
- مرکز هر اسب از جمعیت تعیین می شود. این مرکز به عنوان نقطه مرجع برای جستجو و حرکت اسبها عمل می کند.
- رد هر اسب ارزیابی می شود تا مشخص شود که کدام اسبها در چه موقعیتی قرار دارند.

<sup>1</sup> Hierarchy(H)

<sup>2</sup> Sociability(S)

<sup>3</sup> Imitation(I)

<sup>4</sup> Defense mechanism(D)

<sup>5</sup> Roam(R)

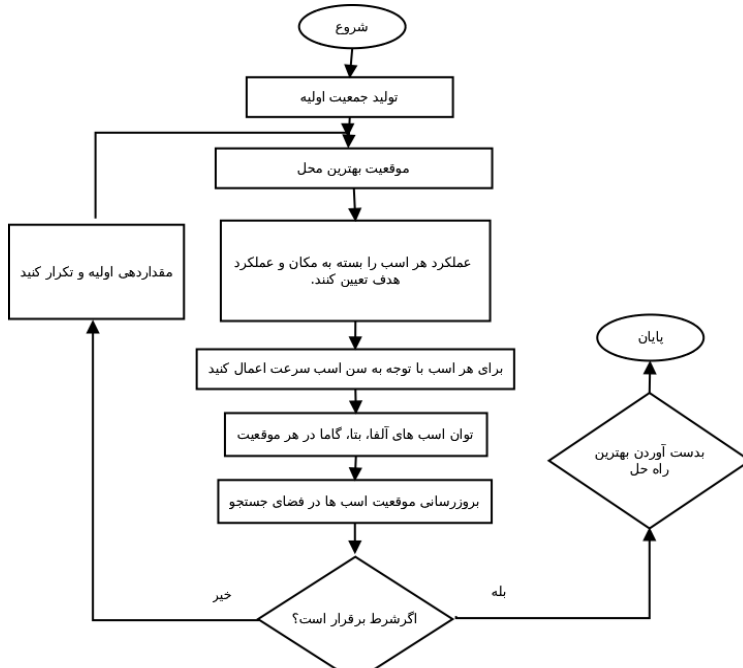
<sup>6</sup>  $\delta$  (Delta)

<sup>7</sup>  $\gamma$  (Gama)

<sup>8</sup>  $\beta$  (Beta)

<sup>9</sup>  $\alpha$  (Alpha)

- اگر شرط بهینه سازی برقرار باشد و معیار توقف محقق شود، موقعیت اسبها به روزرسانی می شود. در غیر این صورت، فرایند به مرحله ارزیابی تابع تناسب بازمی گردد و مراحل تا زمانی که شرط برقرار باشد، تکرار می شوند.



شکل ۳: دیاگرام الگوریتم گله اسب

Figure3: Horse herd algorithm diagram

## ۵-۲-۲-الگوریتم شیرمورچه

الگوریتم شیرمورچه در سال ۲۰۱۵ توسط سید علی میرجلیلی ارائه شده است و از رفتار شکار شیرمورچه‌ها الهام گرفته شده است که در طبیعت با ساختن تله‌های مخروطی شکل، مورچه‌ها را شکار می‌کنند. این تله‌ها به شکل مخروطی هستند و در آن‌ها یک شیرمورچه پنهان شده است. مورچه‌ها زمانی که در این تله‌ها می‌افتنند، توسط شیرمورچه به داخل لانه کشیده شده و خورده می‌شوند [۳۴]. شباهت بین الگوریتم شیرمورچه و رفتار شکار شیرمورچه‌ها به این صورت می‌باشد که، مورچه‌ها در الگوریتم شیرمورچه مانند مورچه‌های واقعی در طبیعت هستند که به طور تصادفی در فضای جستجو حرکت می‌کنند و تله‌های شیرمورچه در الگوریتم شیرمورچه مانند جواب‌های بهینه سازی هستند. برای مدل‌سازی چنین فعل و انفعالی مورچه‌ها باید در فضای جستجو حرکت کنند و شیرمورچه‌ها اجازه دارند تا آن‌ها را شکار نمایند. از آنجایی که مورچه‌ها، هنگام جستجوی غذا در طبیعت و به صورت کاملاً تصادفی حرکت می‌کنند معادله را رفتن تصادفی برای مدل‌سازی حرکت مورچه‌ها رابطه (۸) می‌باشد.

$$X(t) = [0, \text{cumsum}(2r(t_1) - 1), \dots, \text{cumsum}(2r(t_n) - 1)] \quad (8)$$

در رابطه بالا زمانی که *Cumsum* مجموع تجمعی را محاسبه می‌کند؛  $n$  حداکثر تعداد تکرار خواهد بود و همچنین در این حالت  $t$  مرحله پیاده‌روی تصادفی را نشان داده و  $r(t)$  یک تابع تصادفی است و به صورت زیر تعریف می‌گردد:

$$r(t) = \begin{cases} 1, & \text{if rand} > 0.5 \\ 0, & \text{if rand} \leq 0.5 \end{cases} \quad (9)$$

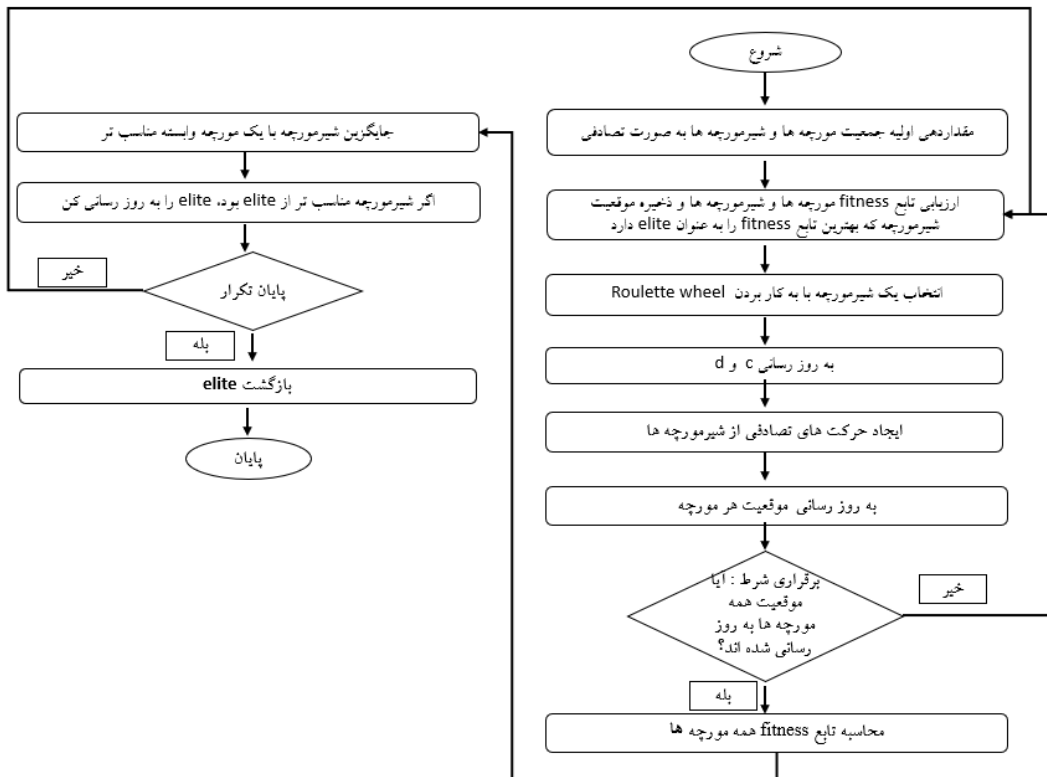
که در آن  $t$  مرحله پیاده‌روی تصادفی و  $\text{rand}$  یک عدد تصادفی است که با توزیع یکنواخت در بازه  $[0, 1]$  تولید می‌شود. در مرحله اول از الگوریتم شیرمورچه جمعیت اولیه ای از مورچه‌ها به طور تصادفی ایجاد می‌شود. هر مورچه یک موقعیت را در فضای جستجو نشان می‌دهد که می‌تواند یک جواب احتمالی برای مسئله بهینه‌سازی باشد. در مرحله دوم، مورچه‌ها بر اساس یک قانون تصادفی در فضای جستجو حرکت می‌کنند. این قانون تصادفی به گونه‌ای است که مورچه‌ها به سمت مورچه‌های دیگر که در موقعیت‌های بهتری قرار دارند، جذب می‌شوند. در مرحله سوم، شیرمورچه‌ها در تله‌هایی که در شن‌ها ایجاد کرده اند، منتظر مورچه‌ها می‌مانند، زمانی که یک مورچه در تله شیرمورچه گرفتار می‌شود، شیرمورچه آن را به سمت لانه خود می‌کشد. در

مرحله چهارم، مورچه هایی که در تله شیرمورچه گرفتار شده اند موقعیت خود را با توجه به موقعیت شیرمورچه به روزرسانی می کنند [۳۴]. این کار به مورچه ها کمک می کند تا به سمت جواب های بهینه حرکت کنند. سپس در مرحله پنجم، تکرار مراحل ۲ تا ۴ انجام می شود تا زمانی که معیار توقف الگوریتم برقرار شود. معادلات مربوط به مدل سازی ریاضی تله مورچه ها در رابطه های (۱۰ و ۱۱) نشان داده شده است.

$$C_i^t = Antlion_j^t + C^t \quad (10)$$

$$d_i^t = Antlion_j^t + d^t \quad (11)$$

در این دو رابطه،  $C^t$  یک عبارت یا عامل تصحیح اضافی است.  $C_i^t$  موقعیت مورچه  $i$  ام در تکرار  $t$  ام را نشان می دهد. موقعیت شیرمورچه  $j$  ام انتخاب شده در تکرار  $t$  ام توسط  $Antlion_j^t$  نشان داده می شود. بیانگر بیشینه در تمام متغیرها در زمان  $t$  است.  $d_i^t$  موقعیت جدید مورچه  $i$  ام در تکرار  $t$  ام است که برابر است با موقعیت شیرمورچه  $j$  ام در تکرار  $t$  ام به علاوه بردار  $d^t$ . شکل ۴، دیاگرام الگوریتم شیرمورچه را نشان می دهد.



شکل ۴: دیاگرام الگوریتم شیرمورچه  
Figure 4: diagram of the ant lion algorithm

## ۶-۲-۲-الگوریتم خفash

الگوریتم های فرآبتكاری که معمولاً الهام گرفته شده از طبیعت و فرایندهای فیزیکی هستند در حال حاضر به عنوان یکی از روش های قدرتمند برای حل بسیاری از مسائل بهینه سازی پیچیده به کار برده می شوند الگوریتم خفash یکی از الگوریتم های فرآبتكاری الهام گرفته از طبیعت است که در سال ۲۰۱۰ توسط آقای یانگ معرفی گردید. این الگوریتم بر اساس اصول زندگی خفash ها طراحی شده است. خفash ها تنها پستانداران با بال هستند که برای شکار طعمه از انکاس صدا استفاده می کنند. این الگوریتم از خصوصیات ریدیابی خفash های کوچک در جستجوی شکار الهام گرفته است به طوری که خفash های کوچک می توانند در تاریکی مطلق با انتشار صدا و دریافت آن به شکار طعمه های خود بپردازنند. برای توسعه این الگوریتم از سه قانون استفاده شده است. اول، همه خفash ها از انکاس صدا برای تشخیص فاصله استفاده می کنند و تفاوت بین مواد غذایی و مواد پیشرو را می دانند. دوم، پرواز خفash ها به طور تصادفی با سرعت  $v_i$  در مکان  $x_i$  با فرکانس ثابت  $f_{min}$  و طول موج مختلف  $\lambda$  و بلندی صوت  $A_0$  به منظور شکار طعمه صورت می گیرد. همچنین آن ها می توانند به طور خود کار امواج پخش شده و نرخ پالس های

ارسالی خود را ( $\epsilon \in [0,1]$ ) با توجه به نزدیکی شکارشان تنظیم کنند. سوم، با توجه به اینکه ممکن است بلندی صدا در بسیاری از جهات مختلف متفاوت باشد لذا فرض می شود که بلندی صدا از بیشترین مقدار تا کمترین مقدار متغیر می باشد. مراحل اصلی الگوریتم به شرح زیر است:

#### ۱. مقداردهی اولیه

یک جمعیت اولیه از خفashها ایجاد می شود. هر خفash با موقعیت و سرعت اولیه خود دارای فرکانس، سرعت و نرخ انتشار پیشنهادی خاصی است.

#### ۲. بهروزسانی موقعیتها

برای هر خفash، فرکانس، سرعت و موقعیت با استفاده از روابط زیر بهروزسانی می شود:

$$f_i^t = f_{\min} + (f_{\max} - f_{\min})\beta \quad (12)$$

$$v_i^t = v_i^{t-1} + (x_i^t - x^0) \quad (13)$$

$$x_i^t = x_i^{t-1} + v_i^t \quad (14)$$

که در آن  $\beta \in [0,1]$  یک بردار تصادفی با توزیع یکنواخت می باشد و  $x^0$  بهترین مکان فعلی است که در هر تکرار پس از مقایسه با موقعیت خفashهای مجازی انتخاب می شود. معمولاً فرکانس  $f$  را با  $f_{\min} = 0$  و  $f_{\max} = 100$  در نظر گرفته می شود.

#### ۳. جستجوی محلی

برای تقویت جستجوی محلی، موقعیت هر خفash با استفاده از پرسش های کوچک حول بهترین راه حل فعلی به صورت زیر بروز می شود:

$$x_{new} = x_{old} + \epsilon A^t \quad (15)$$

که در آن  $\epsilon$  یک عدد تصادفی در بازه  $[1-1]$  است و  $A^t$  میانگین بلندی صدای خفashها در تکرار  $t$  می باشد.

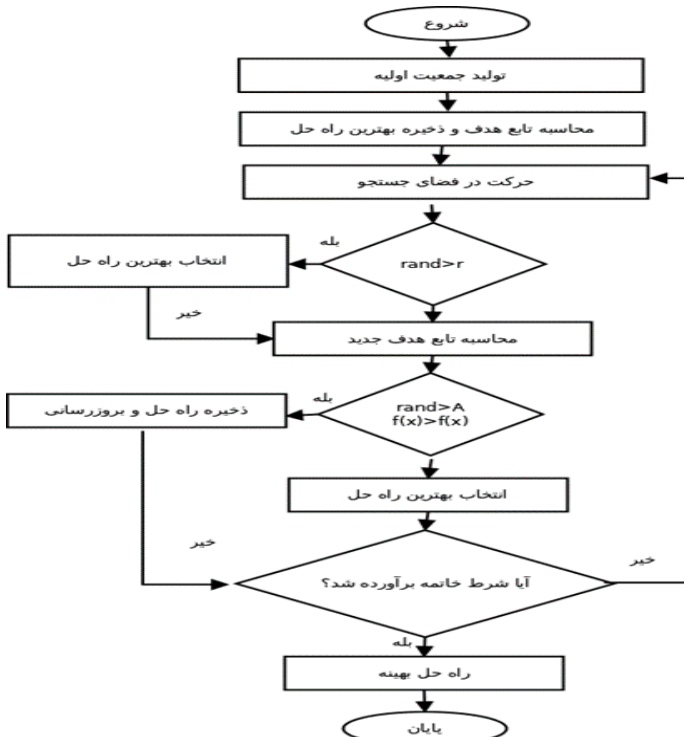
#### ۴. پذیرش راه حل های جدید

هر خفash تنها در صورتی بهروزسانی موقعیت و سرعت خود را قبول می کند که راه حل جدید بهبود یافته باشد یا با یک احتمال خاص که توسط شدت انتشار کنترل می شود، پذیرفته می شود. شدت انتشار از رابطه زیر محاسبه می شود:

$$A_i^{t+1} = \alpha A_i^t \quad (16)$$

که  $\alpha$  یک پارامتر کمتر از ۱ و بزرگتر از صفر است.

دیاگرام الگوریتم خفash در شکل (۵) نشان داده شده است.



شکل ۵: دیاگرام الگوریتم خفاش

Figure 5: Bat algorithm diagram

## ۷-۲-۲- الگوریتم کرم شب تاب

تا کنون از الگوریتم کرم شب تاب برای حل محدوده وسیعی از مسائل بهینه سازی استفاده شده است. این الگوریتم در سال ۲۰۰۷ توسط آقای زین شی یانگ<sup>۱</sup> در دانشگاه کمبریج ارائه شد. الگوریتم کرم شب تاب، یک مثال بارز از هوش جمعی است که در آن عامل هایی که قابلیت چندان بالای ندارند، در کنار هم و با همکاری یکدیگر می توانند نتایج بسیار خوبی به دست آورند. این الگوریتم با الگوبرداری از درخشندگی کرم های شب تاب و رفتارهای آنها در طبیعت طراحی شده است و از رفتار چشمکزنن کرم شب تاب در طبیعت الهام گرفته است که به عنوان یک شکل از مکانیزم علامت دهی برای جذب کرم شب تاب دیگر عمل می کند. رفتار چشمکزنن کرم های شب تاب بر اساس معیارهای جذابیت، روشنایی و فاصله تغییر می کند. همه کرم های شب تاب هم جنس هستند و ممکن است در هر دو کرم شب تاب یک کرم جذاب باشد. جذابیت آنها با شدت نور آنها متناسب است. کرم شب تاب با شدت نور کم، به سمت کرم شب تاب با شدت نور بیشتری حرکت می کند اگر کرم شب تاب با شدت نور زیاد نباشد، کرم های شب تاب به طور تصادفی در فضای جستجو حرکت خواهند کرد. در الگوریتم کرم شب تاب دو مسئله مهم است: اول، تغییرات شدت نور ( $I$ ) که از رابطه (۱۷) به دست می آید.

$$I = \frac{I_0}{1 + \gamma r^2} \quad (17)$$

به طوری که  $\gamma$  ضریب جذب نور و  $I_0$  شدت نور اولیه،  $r$  فاصله و  $\gamma$  نور دریافتی است.

میزان جذابیت یک کرم شب تاب باید از دید کرم های شب تاب دیگر مورد قضاوت قرار گیرد؛ لذا مقدار جذابیت با توجه به میزان فاصله ( $r$ )، بین دو کرم شب  $I$ ، متغیر است. فاکتور جذابیت آ، مقدار جذابیت کرم شب تاب با شدت نوری که توسط کرم های شب تاب مجاور دیده می شود متناسب است، لذا روابط شدت نور برای جذابیت نیز صدق می کند که در رابطه (۱۸) نشان داده شده است.

$$\beta = \beta_0 e^{-\gamma r^2} \Rightarrow \beta = \frac{\beta_0}{1 + \gamma r^2} \quad (18)$$

<sup>1</sup> Xin-She Yang

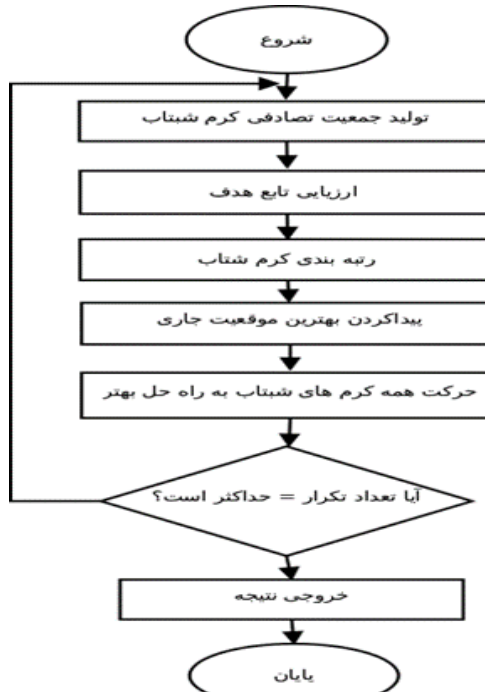
<sup>2</sup> Attractiveness

## ۱۵ بررسی عملکرد الگوریتم علی بابا و چهل دزد با برخی الگوریتم های فرالبتکاری / فاطمه دلبری - علی اکبر نقابی - جلال ایزی

$\beta$  فاکتور جذابیت و  $\beta_0$  جذابیت اولیه است. از فاکتور  $\beta$  برای اندازه گیری میزان کشش و جذابیت میان دو حشره استفاده می شود . هر چه میزان فاصله میان دو حشره بیشتر شود، از میزان جذابیت کمتر می شود. این قضیه نشان می دهد که کرم های شبتاب به سمت حشراتی می روند که نزدیکتر باشند. دو فاکتور بهتر بودن و نزدیک بودن اولویت دارد. فاصله بین دو کرم شبتاب  $r_{ij}$  در دوموقيعيت  $x_i^j$  و  $x_j^i$  بهصورت فاصله دکارتی با کمک رابطه (۱۹) محاسبه می شود.

$$r_{ij} = \|x_i - x_j\| = \sqrt{(x_i - x_j)^2 + (y_i - y_j)^2} \quad (19)$$

دیاگرام الگوریتم کرم شبتاب در شکل (۶) نمایش داده شده است.



شکل ۶: دیاگرام الگوریتم کرم شبتاب

Figure 6: Firefly algorithm diagram

## ۲-۲-۲- الگوریتم نهنگ

الگوریتم نهنگ بر اساس رفتار شکار نهنگ های خاکستری و تکنیک های شکار آن ها طراحی شده است. نهنگ ها به طور اجتماعی زندگی می کنند و در گروه های مختلفی به شکار می پردازنند. شکار مورد علاقه آن ها، کریل و گروه های ماهی کوچک هستند. آنها از تکنیک هایی مانند «حملات حلقه ای» و «حملات غافلگیرانه» برای شکار استفاده می کنند. حملات غافلگیرانه به نهنگ ها کمک می کند تا با استفاده از حرکات سریع و ناگهانی، به طعمه نزدیک شوند و آن را شکار کنند. این رفتار شبیه به نحوه شکار نهنگ ها در طبیعت است. حملات حلقه ای به نهنگ ها اجازه می دهد تا با حرکت دورانی و به شکل حلزونی به سمت بهترین موقعیت (بهترین نهنگ) نزدیک شوند و موقعیت های جدیدی را کشف کنند. این تکنیک به نهنگ ها کمک می کند تا از گیر کردن در نقاط محلی جلوگیری کنند و بتوانند به فضای جستجو گسترش یابند.

مراحل اصلی الگوریتم نهنگ بهصورت زیر است:

۱. تعیین جمعیت اولیه: تعداد مشخصی از نهنگ ها بهصورت تصادفی در فضای جستجو توزیع می شوند.
۲. ارزیابی تابع هدف: هر نهنگ با استفاده از تابع هدف، کیفیت موقعیت خود را ارزیابی می کند.
۳. بهروزرسانی موقعیت: در هر نسل، موقعیت نهنگ ها بر اساس دو تکنیک بهروزرسانی می شود:
  ۱. حملات غافلگیرانه:

این حملات از دو بخش محاسبه موقعیت جدید و حرکات ناگهانی تشکیل می‌شود. در الگوریتم نهنگ فرض می‌کند که بهترین راه حل نامزد حال حاضر، شکار هدف بوده و یا نزدیک به حالت مطلوب است. بعد از اینکه بهترین عامل جستجو شناسایی شد، عوامل دیگر جستجو سعی می‌کنند تا مکان خود را نسبت به بهترین عامل جستجو، بهروزرسانی کنند. محاسبه موقعیت جدید به وسیله معادله زیر بیان می‌شود:

$$X_{new} = X + A \cdot D \quad (20)$$

که  $X_{new}$  موقعیت جدید نهنگ و  $X$  موقعیت فعلی نهنگ است.  $A$  یک پارامتر کنترلی است که شدت حرکت را تعیین می‌کند و  $D$  فاصله بین نهنگ فعلی و بهترین نهنگ است که از رابطه زیر محاسبه می‌شود:

$$D = |C \cdot X^* - X| \quad (21)$$

که در آن  $C$  یک پارامتر تصادفی بین ۰ و ۱ و  $X^*$  بهترین موقعیت (بهترین نهنگ) است.

در مرحله حرکت ناگهانی، حرکت نهنگ به صورت زیر تعریف می‌شود:

$$X_{new} = X + r \cdot (X^* - X) \quad (22)$$

که در آن،  $r$  یک مقدار تصادفی است که می‌تواند بین ۰ و ۱ باشد و شدت حرکت را تنظیم می‌کند.

## ۲. حملات حلقه‌ای:

حملات حلقه‌ای به نهنگ‌ها اجازه می‌دهد تا با حرکت دورانی و به شکل حلزونی به سمت بهترین نهنگ نزدیک شوند.

این حرکت به صورت زیر تعریف می‌شود:

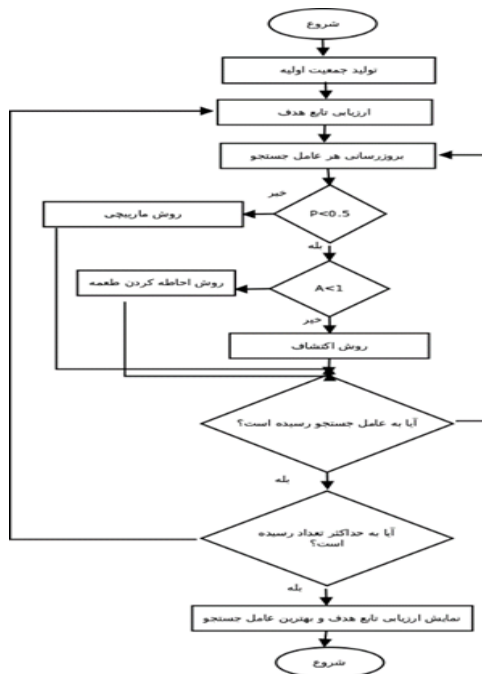
$$X_{new} = X_{best} + r \cdot \sin(2\pi t) \quad (23)$$

به طوری که  $r$  یک مقدار تصادفی است که شعاع حرکت را تعیین می‌کند و  $t$  زمان یا تعداد تکرارها می‌باشد.

۴. بهروزرسانی بهترین نهنگ: پس از بهروزرسانی موقعیت‌ها، بهترین نهنگ (موقعیتی با بهترین کیفیت) شناسایی و ذخیره می‌شود.

۵. مراحل ۲ تا ۴ را رسیدن به تعداد نسل‌های مشخص یا رسیدن به شرایط توقف تکرار می‌شود.

در شکل (۷)، دیاگرام الگوریتم نهنگ نشان داده شده است.



شکل ۷: دیاگرام الگوریتم نهنگ

Figure 7: Whale optimization algorithm diagram

### ۳- پیشینه پژوهش

در تحقیقات انجام شده تاکنون عملکرد الگوریتم چهل دزد و علی بابا با الگوریتم های گله اسب، شاهین هریس، کرکس آفریقایی، شیر مورچه، خفash، کرم شبتاب و نهنگ مورد بررسی قرار نگرفته است. در این بخش برخی از پژوهش هایی که عملکرد الگوریتم های فرالبتکاری دیگری را مورد بررسی قرار داده اند، آورده شده است.

محمدعلی واقدی و همکاران [۳۵] در سال ۲۰۲۳ پژوهشی با عنوان "ازیابی عملکرد الگوریتم های فرالبتکاری بر روی مسائل معیار CEC2021" ارائه کرده اند. در این پژوهش، توابع هدف با افزودن عملگرهایی مانند بایاس، شیفت و چرخش تغییر کرده و عملکرد الگوریتم های فرالبتکاری توسعه یافته ارزیابی شده است. آنها در این تحقیق، الگوریتم های فرالبتکاری را به دو دسته‌ی توسعه یافته و پایه تقسیم کرده اند. با استفاده از هر یک از این الگوریتم ها، توابع هدف با ابعاد مختلفی را حل کرده و درنهایت، عملکرد این الگوریتم ها را به طور تجربی بررسی کرده اند. نتایج نشان داده است که در بین الگوریتم های پایه، الگوریتم بهینه‌سازی مبتنی بر یادگیری آموزش و از میان الگوریتم های توسعه یافته، الگوریتم تفاضل تکاملی توسعه یافته‌ی چند عملگره بهترین عملکرد را نسبت به سایر الگوریتم ها ارائه داده اند در این تحقیق عملکرد الگوریتم چهل دزد و علی بابا بررسی نشده است.

خدادادی و همکاران [۳۶] در سال ۲۰۲۳، پژوهشی با عنوان "تحلیل مقایسه‌ای عملکرد هشت الگوریتم فرالبتکاری برای طراحی بهینه سازه‌های خربیابی با قیود استاتیکی" ارائه کرده اند. در این پژوهش، عملکرد الگوریتم های بهینه‌سازی کرکس‌های آفریقایی، جهت جریان، حسابی، توزیع عادی تعمیم یافته، بهینه‌ساز رنگ تصادفی، بازی هرج و مرچ، ساختار کریستال و الگوریتم تولید مواد مقایسه شده است. این الگوریتم ها برای بهینه‌سازی اندازه سه ساختار خربای آلومینیومی استفاده شده اند که بهینه‌سازی با هدف کاهش وزن اعضای خربای انجام شده است. نتایج شبیه‌سازی نشان داده است که الگوریتم بهینه‌سازی رنگ تصادفی از نظر دقیق و نرخ هم‌گرایی بهتر از سایر الگوریتم ها عمل کرده است. در این پژوهش نیز عملکرد الگوریتم چهل دزد و علی بابا بررسی نشده است. در این پژوهش از الگوریتم چهل دزد و علی بابا استفاده نشده است.

گورگن و همکاران [۳۷] در سال ۲۰۲۲، پژوهشی با عنوان "تحلیل جامع عملکرد تکنیک‌های بهینه‌سازی فرالبتکاری برای طراحی مؤثر چرخه رانکین آلی<sup>۱</sup>" ارائه کرده اند. در این پژوهش بر روی بهینه‌سازی پارامترهای عملیاتی برای بهبود کارایی سیستم چرخه رانکین آلی تحقیق شده است. از آنجایی که تعیین موثرترین الگوریتم در میان دهها الگوریتم موجود برای حل این مسئله، مانند بسیاری از مسائل بهینه‌سازی دنیای واقعی، کار دشواری است. همچنان، تعریف یک راه حل عملی و تعیین روشی که بتواند این راه حل را به سرعت و قاطعانه پیدا کند، یک چالش بزرگ می باشد، هدف از این تحقیق تعیین موثرترین روش‌های بهینه‌سازی فرالبتکاری که بتوانند راه حل‌های بهینه و قابل اجرا برای حل مسئله طراحی چرخه رانکین آلی را به صورت پایدار و سریع بیابند، بوده است. از میان بهروزترین و قدرتمندترین الگوریتم های جستجوی فرالبتکاری، ۳۱ الگوریتم انتخاب شده و در مطالعات شبیه‌سازی مورد استفاده قرار گرفته اند. نتایج نشان داده است که الگوریتم های TLABC<sup>۲</sup>, DE<sup>۳</sup> و PSO<sup>۴</sup> در یافتن یک راه حل عملی بسیار موفق بوده اند. علاوه بر این، الگوریتم TLABC توائste است یک راه حل عملی را در زمان کوتاه‌تری نسبت به جایگزین‌های خود بیابد. در این پژوهش از الگوریتم چهل دزد و علی بابا استفاده نشده است.

پژوهشی با عنوان "تحلیل عملکرد شش الگوریتم فرالبتکاری در تولید خودکار مجموعه آزمون برای بهینه‌سازی مبتنی بر پوشش مسیر"<sup>۵</sup> در سال ۲۰۲۰ توسط خاری و همکاران [۳۸] انجام شده است. آنها بر روی عملکرد شش الگوریتم فرالبتکاری به نامهای: الگوریتم تپه‌نوردی، بهینه‌سازی از دحام ذرات، الگوریتم کرم شبتاب، الگوریتم جستجوی فاخته، الگوریتم خفash و الگوریتم کلونی زنبور عسل مصنوعی تمرکز کرده اند. این الگوریتم ها برای بهینه‌سازی پوشش مسیر و پوشش شاخه تولید شده توسط داده‌های آزمایشی، ارزیابی شده اند. هدف از این مطالعه، یافتن بهترین الگوریتم برای محدود کردن تحقیقات آینده در زمینه اتوماسیون آزمایشی برای رویکردهای بهینه‌سازی مبتنی بر پوشش مسیر بوده است. الگوریتم ها با استفاده از معیارهای میانگین زمان، بهترین زمان، بدترین زمان و معیارهای محصول مانند پوشش مسیر و مقادیر تابع هدف مجموعه‌های آزمایشی، مقایسه

<sup>1</sup> Organic Rankine Cycle

<sup>2</sup> Teaching-Learning-Based Artificial bee Colony

<sup>3</sup> Differential Evolution

<sup>4</sup> Particle Swarm Optimization

شده‌اند. نتایج نشان داده است که الگوریتم کلونی زنبور عسل بهترین عملکرد را داشته و سریع‌ترین الگوریتم بوده است، اما الگوریتم خفash به عنوان کندترین الگوریتم شناخته شده است. در این پژوهش از الگوریتم چهل دزد و علی بابا استفاده نشده است.

#### ۴-روش پژوهش

در این پژوهش برای مقایسه و ارزیابی عملکرد الگوریتم‌های انتخابی، از مجموعه توابع تست استاندارد CEC2017 که دارای ۲۳ تابع می‌باشد؛ استفاده شده است. این توابع مجموعه‌ای از توابع تک‌وجهی، چندوجهی و توابع ترکیبی را شامل می‌شوند. توابع CEC2017 بسیار چالش‌برانگیز هستند و شامل ویژگی‌هایی مانند چندین بهینه محلی، سطح نویز، و پیچیدگی در سطح جهانی هستند. این مجموعه توابع شامل توابع تک‌وجهی  $F1$  تا  $F7$  می‌باشند که ابزاری مناسب برای نشان دادن قدرت الگوریتم در طول مرحله اکتشاف هستند. همچنین، توابع چندوجهی  $F1$  تا  $F13$  معیاری مؤثر برای به چالش کشیدن توانایی بهره‌برداری الگوریتم هستند. درنهایت از توابع ترکیبی  $F14$  تا  $F23$  نیز در ارزیابی الگوریتم‌های فرآبتكاری می‌شود. برای ارزیابی عملکرد مقیاس‌پذیری الگوریتم‌های انتخابی، از توابع تست  $F1$  تا  $F23$  در ابعاد و تکرارهای مختلف استفاده شده است. ابعاد ۱۰، ۲۰ و ۳۰ برای توابع  $F1$  تا  $F13$  و در توابع ترکیبی از  $F14$  تا  $F23$  در نظر گرفته می‌شود. در این پژوهش، شبیه‌سازی با استفاده از نرم‌افزار متلب نسخه 2022 انجام شده و سیستم کامپیوتری استفاده شده لپ‌تاپ ایسوس نسل ۴ و ۷ هسته‌ای با رم ۸ گیگابایت بوده است. برای پیاده‌سازی هر الگوریتم لازم است پارامترهای اولیه‌ی آن الگوریتم مقداردهی شوند. مقادیر در نظر گرفته شده برای پارامترهای مهم هر الگوریتم در جدول (۱) نشان داده شده است. شرط خاتمه هر یک از الگوریتم‌ها، تعداد ۱۰۰ و ۱۰۰۰ بار اجرا در نظر گرفته شده است.

جدول ۱: مقادیر برخی از پارامترهای اولیه الگوریتم‌ها

Table 1: Values of some basic parameters of the algorithms

Algorithms	Parameters	Value
AFT	Marjaneh	Rand[0,1]
HOA	Hierarchy factor for $\beta, \gamma$ Sociability factor for $\beta, \gamma$ Imitation factor for $\gamma, \delta$ Defense factor for $\beta, \gamma, \alpha$ Roam factor for $\gamma, \delta$ $\omega$	0.9 , 0.5 0.2, 0.1 0.3, 0.3 0.2, 0.1, 0.5 0.05, 0.1 0.999
FA	Light Absorption Coefficient, Attraction Coefficient Base Valu, MutationCoefficient, Mutation Coefficient Damping Ratio	1, 2, 0.2, 0.99
ALO	antlion by rolette wheel, best antlion so far	Rand[0,1] , Rand[0,1]
WOA	Convergence_curve	zeros(1,Max_iter)
BA	Loudness, Pulse rate	0.9 , 0.6
AVOA	L1, L2, w, P1, P2, P3	0.8, 0.2, 2.5, 0.6, 0.4, 0.6
HHO	$\beta$	1.5

در ارزیابی و مقایسه عملکرد الگوریتم‌های فرآبتكاری، معیارهای مختلفی برای سنجش کارایی مورد استفاده قرار می‌گیرند. در این پژوهش از معیارهای زیر برای سنجش کارایی استفاده می‌شود:

۱- بهترین پاسخ<sup>۱</sup>: این معیار نشان دهنده بهترین نتیجه‌های است که الگوریتم در طول اجراهای متعدد به دست آورده است.

بهترین پاسخ معمولاً کیفیت بالای راه حل ارائه شده توسط الگوریتم را نشان می‌دهد.

۲- انحراف معیار<sup>۲</sup>: انحراف معیار میزان پراکنده‌گی پاسخ‌های به دست آمده توسط الگوریتم را نسبت به میانگین پاسخ‌ها اندازه‌گیری می‌کند. انحراف معیار پایین نشان دهنده پایداری و دقیقی الگوریتم است. محاسبه آن با استفاده از روابط زیر است:

$$\mu = \frac{1}{N} \sum_{i=1}^N x_i \quad (24)$$

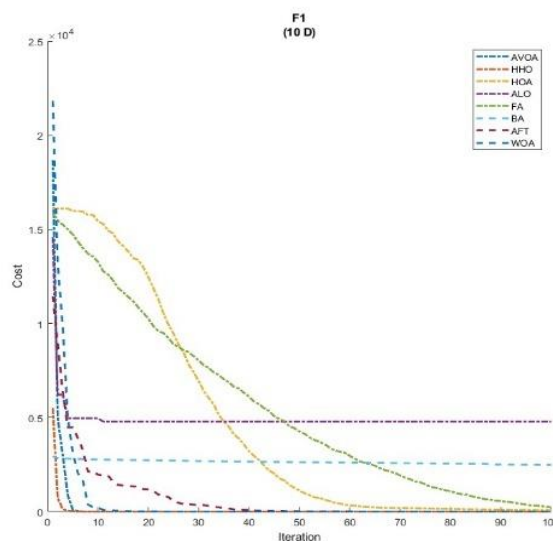
$$SD = \sqrt{\frac{1}{N} \sum_{i=1}^N (x_i - \mu)^2} \quad (25)$$

بطوری که  $\mu$  میانگین پاسخ‌های بدست آمده در  $N$  تکرار الگوریتم و  $x_i$  بهترین پاسخ بدست آمده در تکرار آم است.

۳- زمان اجرا<sup>۳</sup>: این معیار نشان دهنده مدت زمانی است که الگوریتم برای یافتن یک پاسخ صرف می‌کند و نشان دهنده سرعت الگوریتم در حل مسئله است.

#### ۱-۴- نتایج پژوهش

در این پژوهش با توجه به پارامترهای اولیه در نظر گرفته شده برای هر الگوریتم در جدول (۱) و با استفاده از مجموعه توابع تست، الگوریتم‌های مورد نظر شبیه‌سازی شده‌اند. در شکل‌های (۱) تا (۲۳) منحنی همگرایی الگوریتم‌ها برای توابع  $F1$  تا  $F23$  در بُعد ۱۰ و تکرار ۱۰۰ نشان داده شده است. همچنین، نتایج بدست آمده برای معیارهای بهترین پاسخ، انحراف معیار و زمان اجرا در جداول (۳)، (۴)، (۵) و (۶) آمده است.



شکل (۹): منحنی همگرایی الگوریتم‌ها برای حل تابع  $F1$  در بعد ۱۰ و با تعداد تکرار ۱۰۰

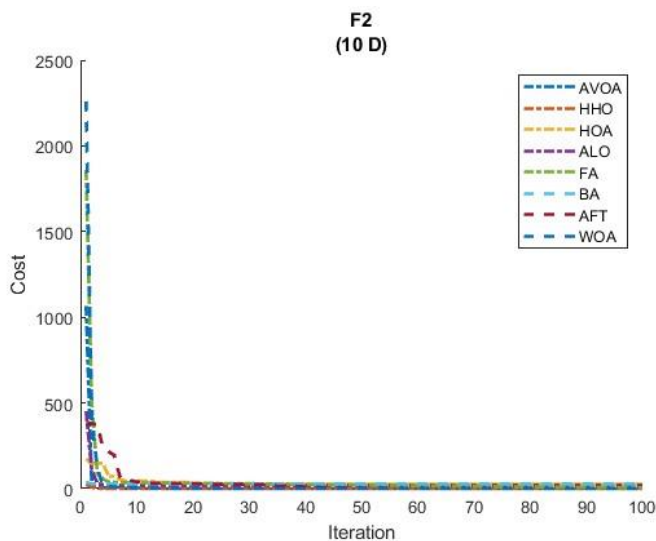
Figure (9): Convergence curve of algorithms in the function  $F1$  and dimension 10

شکل (۹) نمودار همگرایی تابع  $F1$  را نشان می‌دهد. شکل نشان می‌دهد که الگوریتم شاهین هریس سریعترین همگرایی را داشته است. علاوه بر این، الگوریتم‌های شیر مورچه و خفاش به جواب بهینه همگرا نشده‌اند و الگوریتم علی بابا و چهل دزد با سرعت مناسبی همگرا شده است.

<sup>1</sup> Best Solution

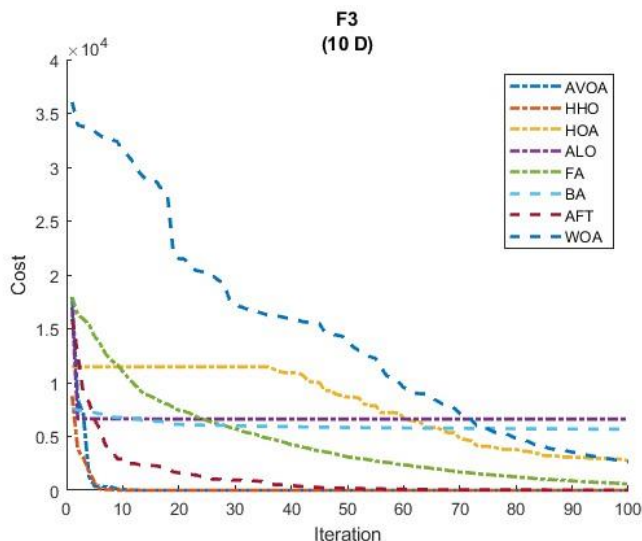
<sup>2</sup> Standard Deviation (SD)

<sup>3</sup> Runtime



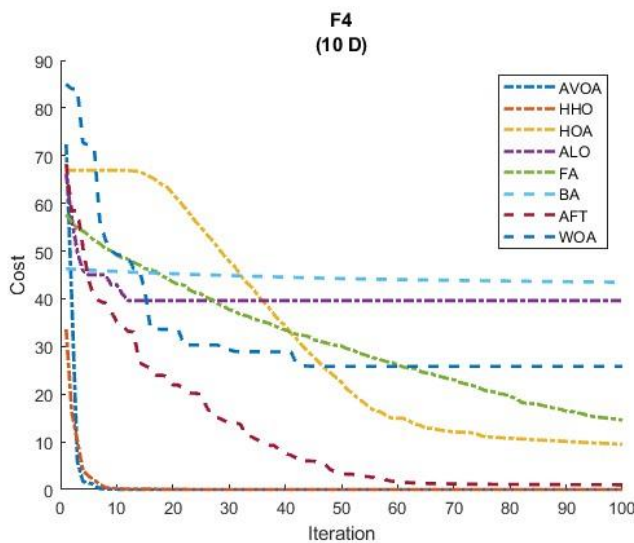
شکل (۱۰): منحنی همگرایی الگوریتمها برای حل تابع  $F2$  در بعد ۱۰ و با تعداد تکرار ۱۰۰  
Figure (10): Convergence curve of algorithms in the function  $F2$  and dimension 10

در نمودار همگرایی تابع  $F2$  (شکل ۱۰)، مشاهده می شود که اکثر الگوریتمها سرعت همگرایی مناسبی داشته اند که نشان دهنده قابلیت بالای این الگوریتمها در این تابع است.



شکل (۱۱): منحنی همگرایی الگوریتمها برای حل تابع  $F3$  در بعد ۱۰ و با تعداد تکرار ۱۰۰  
Figure (11): Convergence curve of algorithms in the function  $F3$  and dimension 10

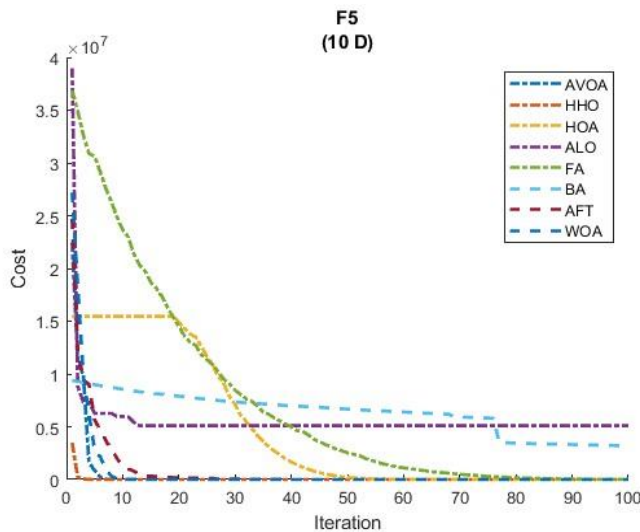
شکل (۱۱) نشان می دهد که الگوریتم های شاهین هریس و کرکس آفریقایی بیشترین سرعت همگرایی را داشته اند. در رتبه بعدی الگوریتم علی بابا و چهل دزد قرار دارد. بدترین عملکرد را الگوریتم شیر مورچه و نهنگ داشته اند.



شکل (۱۲): منحنی همگرایی الگوریتمها برای حل تابع  $F4$  در بعد ۱۰ و با تعداد تکرار ۱۰۰

Figure (12): Convergence curve of algorithms in the function  $F4$  and dimension 10

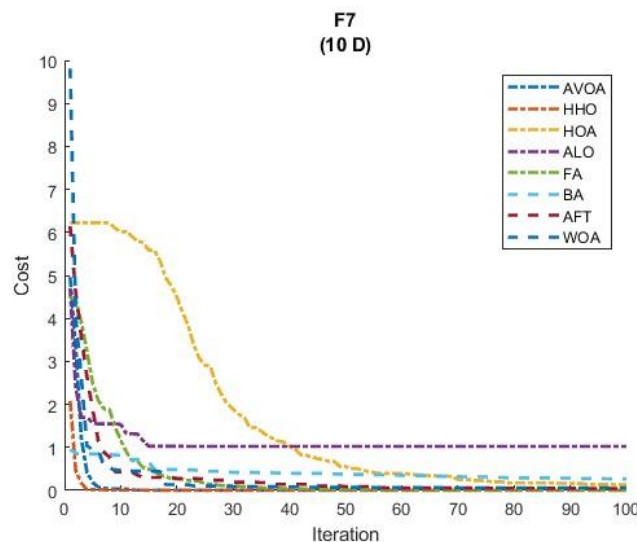
نمودار فوق نشان می‌دهد که همگرایی الگوریتم‌های کرکس آفریقایی و شاهین هریس از سایر الگوریتم‌ها سریع‌تر بوده است. در اینجا الگوریتم علی بابا و چهل دزد عملکرد قابل قبولی داشته است. یکی از بدترین عملکردها به الگوریتم نهنگ اختصاص می‌یابد.



شکل (۱۳): منحنی همگرایی الگوریتمها برای حل تابع  $F5$  در بعد ۱۰ و با تعداد تکرار ۱۰۰

Figure (13): Convergence curve of algorithms in the function  $F5$  and dimension 10

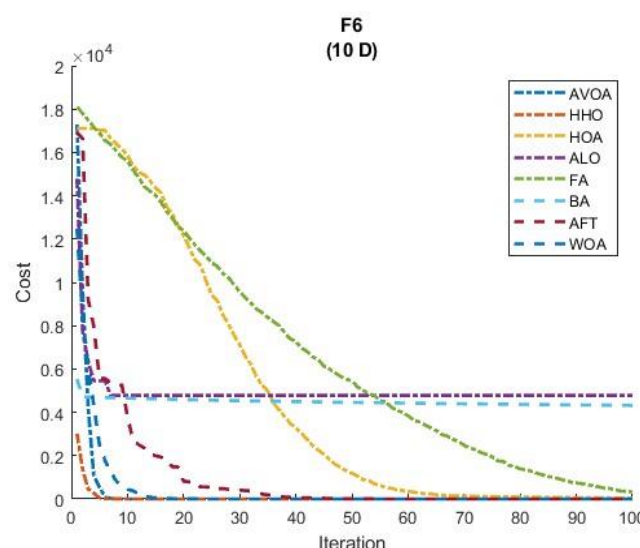
نمودار همگرایی تابع  $F5$  نشان می‌دهد که الگوریتم‌های خفash و شیر مورچه به همگرایی نرسیده‌اند، در حالی که کرکس آفریقایی و شاهین هریس بهترین عملکرد را داشته‌اند. در این نمودار عملکرد همگرایی الگوریتم علی بابا و چهل دزد در رتبه چهارم قرار می‌گیرد.



شکل (۱۴): منحنی همگرایی الگوریتم ها برای حل تابع  $F6$  در بعد ۱۰ و با تعداد تکرار ۱۰۰

Figure (14): Convergence curve of algorithms in the function  $F6$  and dimension 10

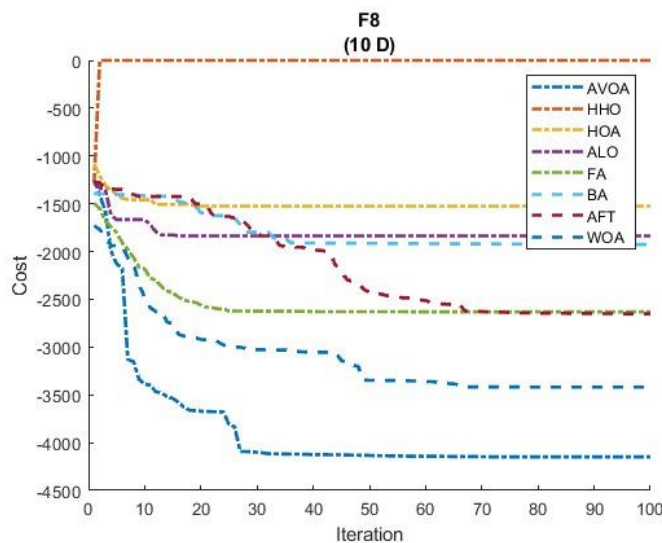
شکل (۱۴) نشان می دهد که اگر چه الگوریتم های گله اسپ و کرم شب تاب در ابتدا سرعت همگرایی بالایی نداشته اند ولی در نهایت به جواب بهینه همگرا شده اند. این شکل نشان می دهد که الگوریتم علی بابا و چهل دزد از سه الگوریتم برتر دیگر عملکرد ضعیفتری داشته است.



شکل (۱۵): منحنی همگرایی الگوریتم ها برای حل تابع  $F7$  در بعد ۱۰ و با تعداد تکرار ۱۰۰

Figure (15): Convergence curve of algorithms in the function  $F7$  and dimension 10

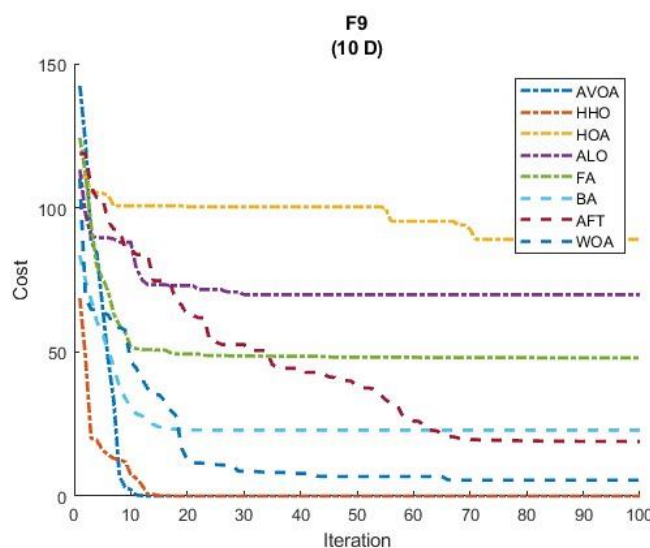
شکل (۱۵) نشان می دهد که بجز الگوریتم شیر مورچه سایر الگوریتم ها به پاسخ بهینه همگرا شده و یا در تکرار های بیشتر در نهایت همگرا خواهند شد. در این نمودار مشخص است که سرعت همگرایی الگوریتم های شاهین هریس، کرس آفریقایی و نهنگ از الگوریتم علی بابا و چهل دزد بیشتر بوده است.



شکل (۱۶): منحنی همگرایی الگوریتمها برای حل تابع  $F8$  در بعد ۱۰ و با تعداد تکرار ۱۰۰

Figure (16): Convergence curve of algorithms in the function  $F8$  and dimension 10

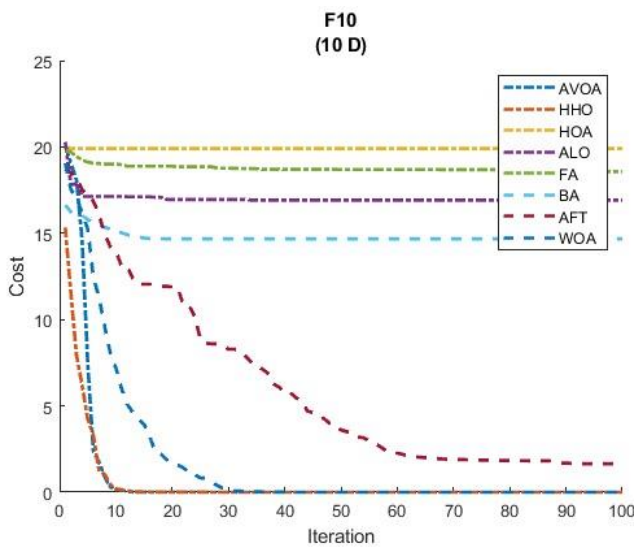
در نمودار شکل (۱۶) مشخص است که بجز الگوریتم شاهین هریس، هیچکدام از الگوریتم ها به پاسخ بهینه همگرا نشده اند. الگوریتم های کرکس آفریقایی نسبت به سایر الگوریتم ها بدترین عملکرد را داشته است.



شکل (۱۷): منحنی همگرایی الگوریتمها برای حل تابع  $F9$  در بعد ۱۰ و با تعداد تکرار ۱۰۰

Figure (17): Convergence curve of algorithms in the function  $F9$  and dimension 10

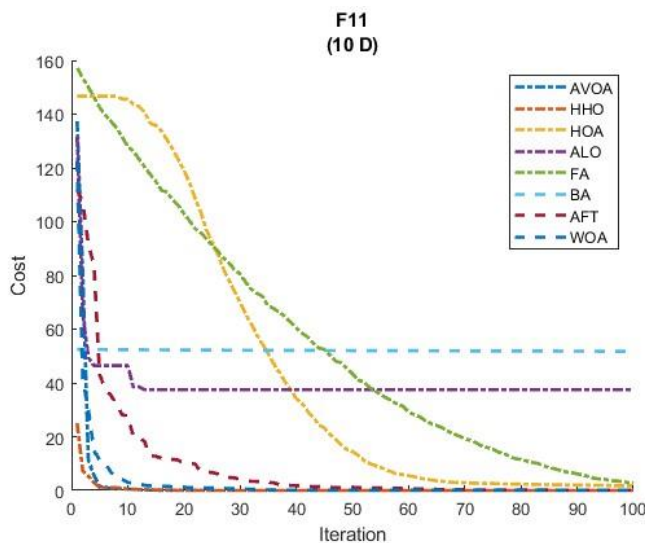
همگرایی الگوریتم های کرکس آفریقایی و شاهین هریس برای حل تابع  $F9$  در شکل (۱۷) کاملاً مشهود است. در اینجا الگوریتم علی بابا و چهل دزد عملکرد مناسبی نداشته و الگوریتم گله اسب بدترین عملکرد را داشته است.



شکل (۱۸): منحنی همگرایی الگوریتمها برای حل تابع  $F10$  در بعد ۱۰ و با تعداد تکرار ۱۰۰

Figure (18): Convergence curve of algorithms in the function F10 and dimension 10

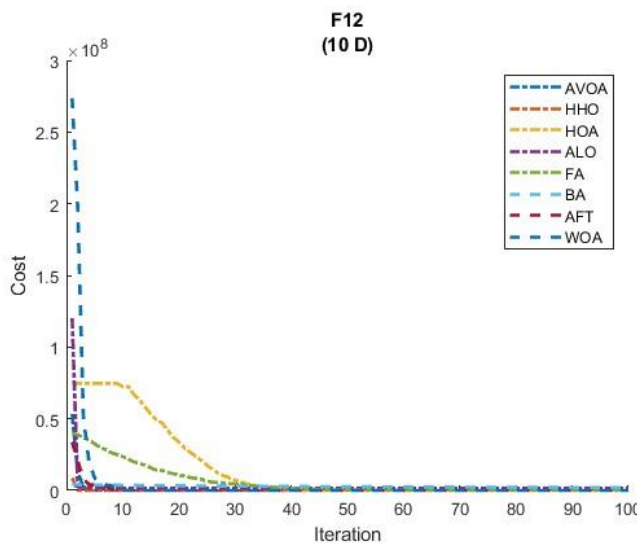
در نمودار همگرایی مربوط به تابع  $F10$  در شکل (۱۸) مشاهده می شود که، الگوریتم علی بابا و چهل دزد در ابتدا سرعت همگرایی مناسبی داشته است ولی در نهایت نتوانسته است به پاسخ بهینه همگرا شود. الگوریتم های خفash، شیرمورچه، کرم شب تاب و گله است هم نتوانسته اند همگرا شوند.



شکل (۱۹): منحنی همگرایی الگوریتمها برای حل تابع  $F11$  در بعد ۱۰ و با تعداد تکرار ۱۰۰

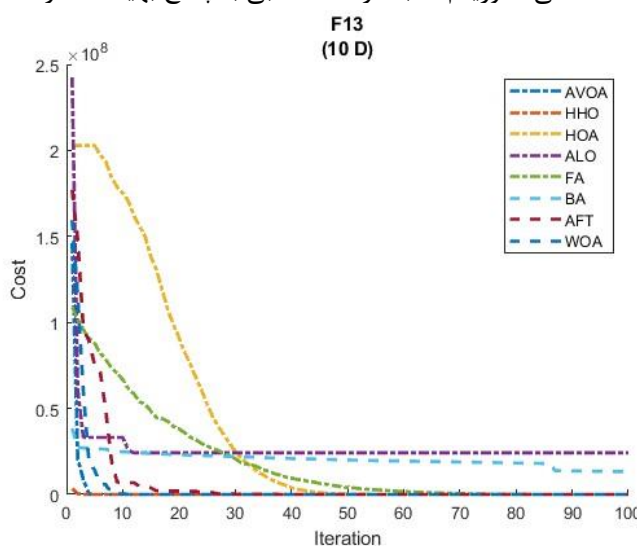
Figure (19): Convergence curve of algorithms in the function F11 and dimension 10

نمودار همگرایی برای تابع  $F11$ ، شکل (۱۹)، نشان می دهد که به ترتیب الگوریتم های شاهین هریس، کرکس آفریقایی و نهنگ عملکرد بهتری نسبت به سایر الگوریتمها داشته اند. همچنین، الگوریتم های خفash و شیرمورچه بدترین عملکرد را داشته اند.



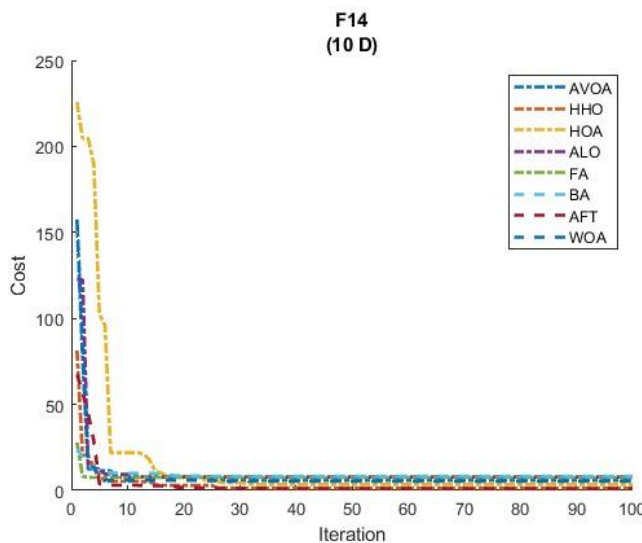
شکل (۲۰): منحنی همگرایی الگوریتمها برای حل تابع  $F12$  در بعد ۱۰ و با تعداد تکرار ۱۰۰  
Figure (20): Convergence curve of algorithms in the function  $F12$  and dimension 10

در شکل (۲۰) مشاهده می شود که تمامی الگوریتم ها با سرعت مناسبی به پاسخ بهینه همگرا شده اند.



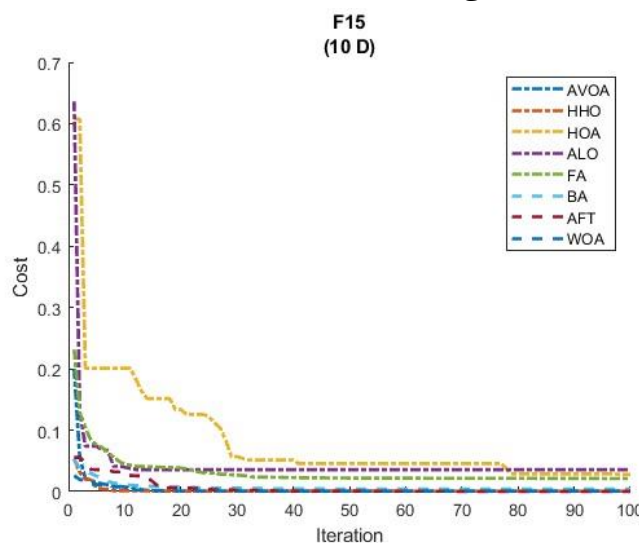
شکل (۲۱): منحنی همگرایی الگوریتمها برای حل تابع  $F13$  در بعد ۱۰ و با تعداد تکرار ۱۰۰  
Figure (21): Convergence curve of algorithms in the function  $F13$  and dimension 10

نمودار همگرایی تابع  $F13$  نشان می دهد که بهجز الگوریتم های خفash و شیر مورچه سایر الگوریتم ها به پاسخ بهینه همگرا شده اند. الگوریتم علی بابا و چهل دزد نسبت به الگوریتم های شاهین هریس، کرکس آفریقایی و نهنگ دیرتر همگرا شده است.



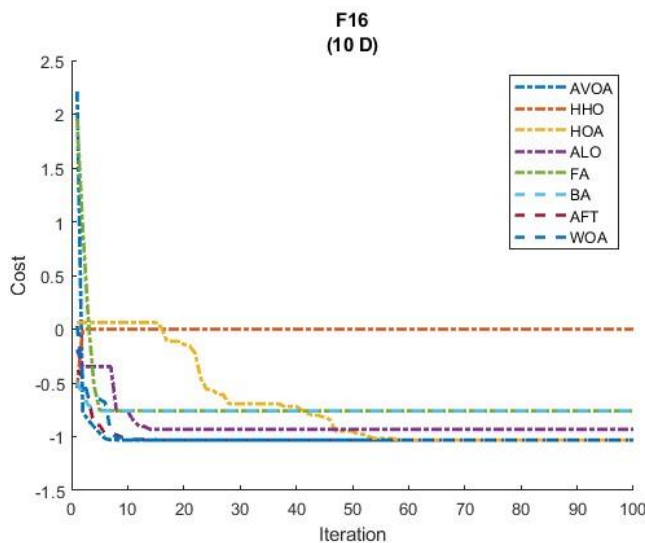
شکل (۲۲): منحنی همگرایی الگوریتمها برای حل تابع  $F14$  در بعد ۱۰ و با تعداد تکرار ۱۰۰  
Figure (22): Convergence curve of algorithms in the function  $F14$  and dimension 10

در شکل (۲۲) مشخص است که الگوریتم علی بابا و چهل دزد زودتر از سایر الگوریتمها همگرا شده و عملکرد بهتری داشته است ولی سایر الگوریتم ها نیز عملکرد قابل قبولی داشته اند.



شکل (۲۳): منحنی همگرایی الگوریتمها برای حل تابع  $F15$  در بعد ۱۰ و با تعداد تکرار ۱۰۰  
Figure (23): Convergence curve of algorithms in the function  $F15$  and dimension 10

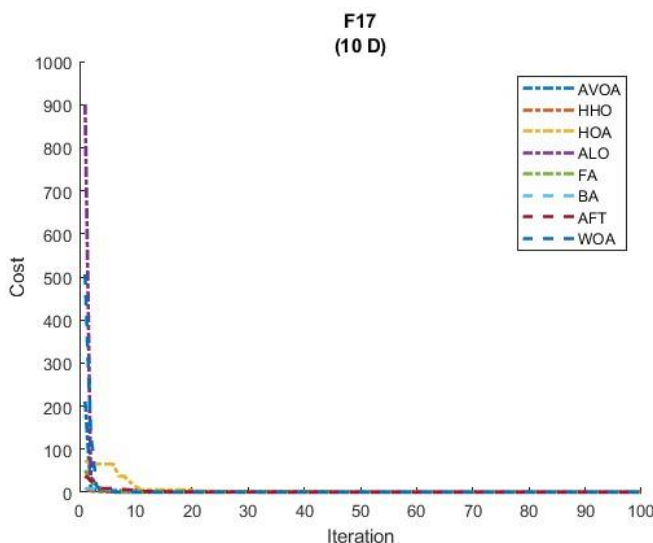
نمودار همگرایی مربوط به حل تابع  $F15$  نشان می دهد که سرعت همگرایی الگوریتم های علی بابا و چهل دزد، شاهین هریس، کرکس آفریقایی و نهنگ تقریباً مشابه بوده است؛ اما سایر الگوریتم ها نتوانسته اند به جواب بهینه همگرا شوند.



شکل (۲۴): منحنی همگرایی الگوریتمها برای حل تابع  $F16$  در بعد ۱۰ و با تعداد تکرار ۱۰۰

Figure (24): Convergence curve of algorithms in the function  $F16$  and dimension 10

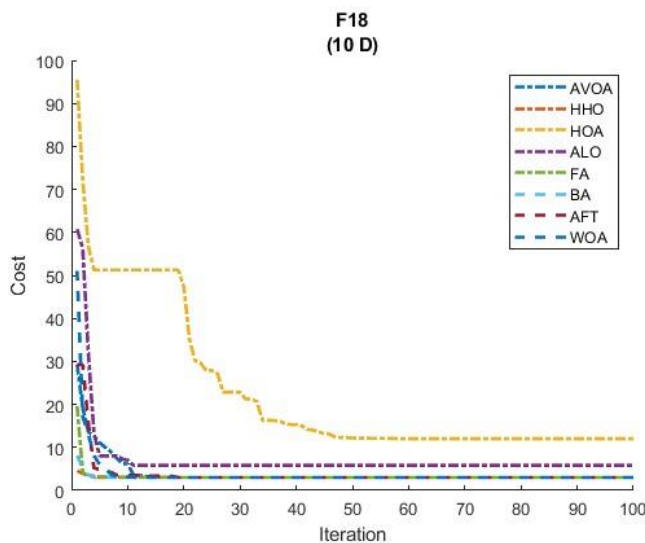
برای حل تابع  $F16$  به جز الگوریتم شاهین هریس هیچ کدام از الگوریتم های بررسی شده نتوانسته اند به پاسخ بهینه همگرا شوند که در شکل (۲۴) مشخص است.



شکل (۲۵): منحنی همگرایی الگوریتمها برای حل تابع  $F17$  در بعد ۱۰ و با تعداد تکرار ۱۰۰

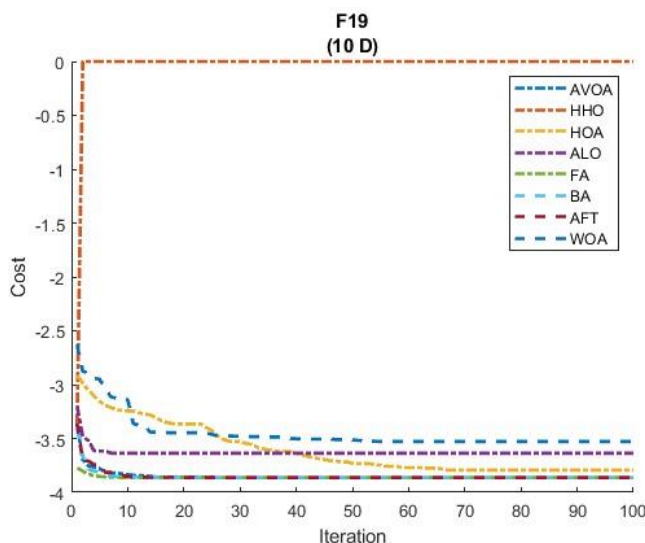
Figure (25): Convergence curve of algorithms in the function  $F17$  and dimension 10

در شکل مربوط به همگرایی تابع  $F17$ ، بیشتر الگوریتم ها عملکرد مشابهی در همگرایی داشته اند، اما الگوریتم چهل دزد و علی بابا به سطح بهتری از همگرایی رسیده است.



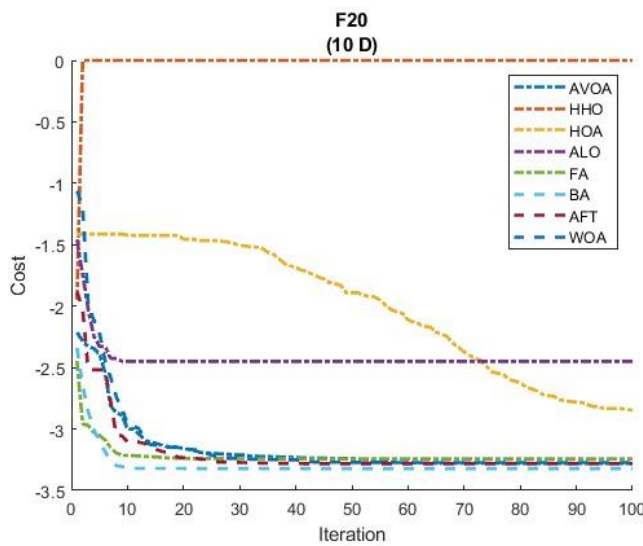
شکل (۲۶): منحنی همگرایی الگوریتم ها برای حل تابع  $F18$  در بعد ۱۰ و با تعداد تکرار ۱۰۰  
Figure (26): Convergence curve of algorithms in the function F18 and dimension 10

شکل (۲۶) نشان می دهد که در ابتدا سرعت همگرایی اکثر الگوریتم ها مناسب بوده است ولی در نهایت هیچکدام به جواب بهینه همگرا نشده اند.



شکل (۲۷): منحنی همگرایی الگوریتم ها برای حل تابع  $F19$  در بعد ۱۰ و با تعداد تکرار ۱۰۰  
Figure (27): Convergence curve of algorithms in the function F19 and dimension 10

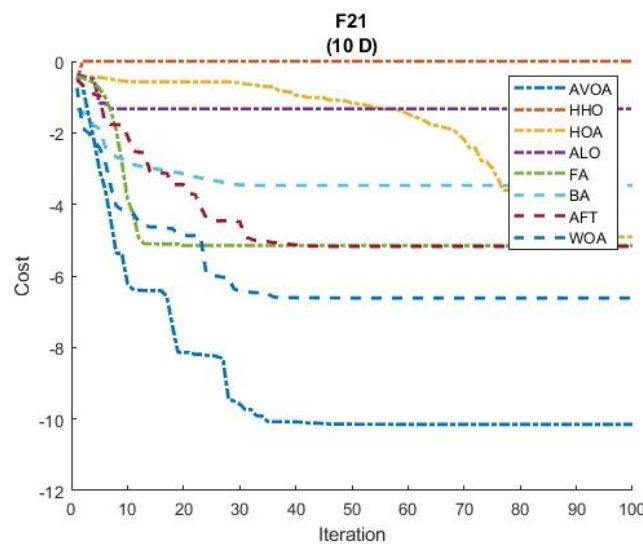
در یافتن پاسخ بهینه مربوط به تابع  $F19$  الگوریتم شاهین هریس بهترین عملکرد را داشته است. الگوریتم علی‌بابا و چهل دزد و سایر الگوریتم ها نتوانسته‌اند به پاسخ بهینه دست یابند.



شکل (۲۸): منحنی همگرایی الگوریتمها برای حل تابع  $F20$  در بعد ۱۰ و با تعداد تکرار ۱۰۰

Figure (28): Convergence curve of algorithms in the function F20 and dimension 10

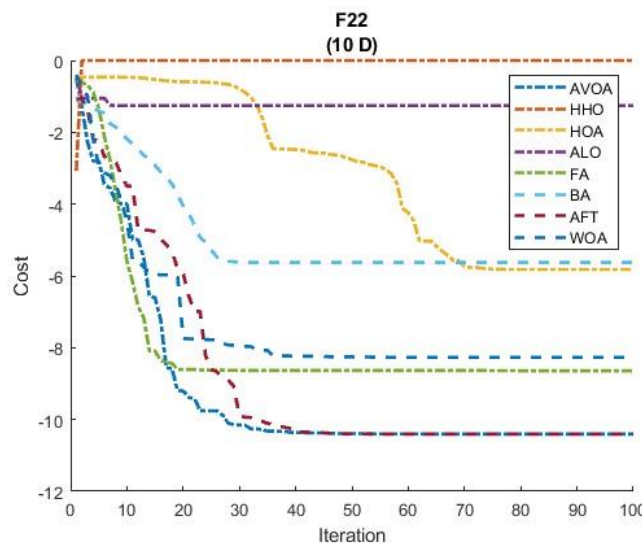
نمودار همگرایی مربوط به تابع  $F20$  در شکل (۲۸) نشان می‌دهد که الگوریتم شاهین هریس با سرعت مناسبی به پاسخ بهینه رسیده است ولی تمامی الگوریتم‌های دیگر نتوانسته اند به پاسخ بهینه همگرا شوند.



شکل (۲۹): منحنی همگرایی الگوریتمها برای حل تابع  $F21$  در بعد ۱۰ و با تعداد تکرار ۱۰۰

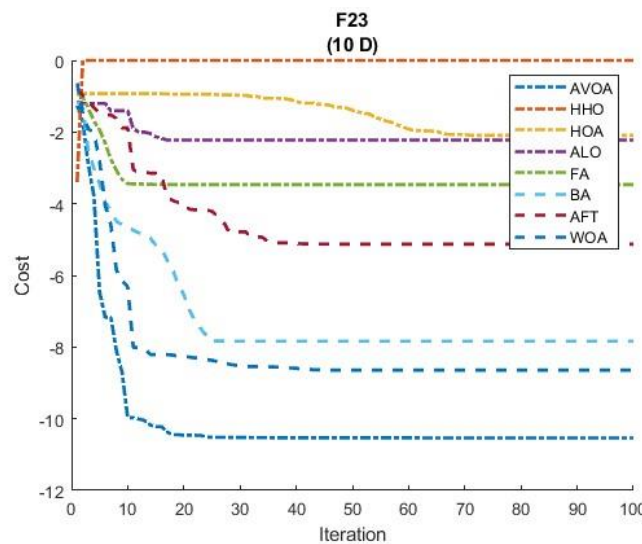
Figure (29): Convergence curve of algorithms in the function F21 and dimension 10

در حل تابع  $F21$ , به جز الگوریتم شاهین هریس سایر الگوریتم‌ها نتوانسته‌اند به پاسخ بهینه همگرا شوند. بدترین عملکرد را الگوریتم‌های نهنگ و کرکس آفریقایی داشته‌اند. الگوریتم علی بابا و چهل دزد نیز عملکرد مناسبی نداشته است.



شکل (۳۰): منحنی همگرایی الگوریتمها برای حل تابع F22 در بعد ۱۰ و با تعداد تکرار ۱۰۰  
Figure (30): Convergence curve of algorithms in the function F22 and dimension 10

شکل (۳۰) نشان می دهد که فقط الگوریتم شاهین هریس به پاسخ بهینه همگرا شده است. الگوریتم علی بابا و چهل دزد یکی از الگوریتم هایی بوده است که بدترین عملکرد را داشته است.



شکل (۳۱): منحنی همگرایی الگوریتمها برای حل تابع F23 در بعد ۱۰ و با تعداد تکرار ۱۰۰  
Figure (31): Convergence curve of algorithms in the function F23 and dimension 10

در این نمودار همگرایی مربوط به تابع F23، شکل (۳۱)، نتایج متفاوتی مشاهده می شود. عملکرد بسیار کارآمد الگوریتم شاهین هریس در مقایسه با سایر الگوریتمها با منحنی همگرایی آن بهوضوح نشان داده شده است. در اینجا بدترین عملکرد به الگوریتم کرکس آفریقایی و پس از آن به الگوریتم نهنگ تعلق دارد.

نمودارهای همگرایی توابع نشان می دهند که در توابع تکوجهی F1 تا F7 معمولاً الگوریتم های کرکس آفریقایی و شاهین هریس بهترین و الگوریتم های شیر مورچه و خفافش بدترین عملکرد را داشته اند. در این توابع سرعت همگرایی الگوریتم علی بابا و چهل دزد رتبه سوم یا چهارم را دارد. همچنین، در توابع چندوجهی F8 تا F13 نیز عملکرد الگوریتم هایی کرکس آفریقایی و شاهین هریس بهترین بوده است. در اینجا، در نیمی از موارد سایر الگوریتم ها همگرا نشده اند. عملکرد الگوریتم علی بابا و چهل دزد نیز مناسب نبوده است. بررسی نمودارهای همگرایی توابع ترکیبی F14 تا F23 نشان می دهد که در اکثر موارد عملکرد همگرایی الگوریتم شاهین هریس از سایر الگوریتم های بستر بوده است. با مقایسه نتایج این توابع با تکوجهی و چندوجهی

می توان نتیجه گرفت که الگوریتم کرکس آفریقایی برای توابع ترکیبی مناسب نبوده و عملکرد قابل قبولی نداشته است. الگوریتم علی بابا و چهل دزد فقط در ۳۳ درصد از توابع همگرا شده است و این نشان از عملکرد ضعیف این الگوریتم در حل توابع ترکیبی دارد. عملکرد ضعیف الگوریتم چهل دزد و علی بابا نسبت به الگوریتم های کرکس آفریقایی و شاهین هریس ممکن است به این دلیل باشد که الگوریتم چهل دزد و علی بابا در تعادل بین جستجو<sup>۱</sup> و بهره برداری<sup>۲</sup> به اندازه کافی قوی نباشد، و این می تواند منجر به گیر افتادن در بهینه های محلی یا کندی در همگرای شود.

مهم ترین پارامترهای اولیه الگوریتم های بررسی شده در جدول (۱) آمده است. تمامی الگوریتم ها در تکرارهای ۱۰۰ و ۱۰۰۰ و با ابعاد ۱۰، ۲۰ و ۳۰ برای توابع F1 تا F23 شبیه سازی شده اند. نتایج شبیه سازی برای معیارهای بهترین پاسخ، انحراف معیار و زمان اجرای الگوریتم ها در جداول (۳)، (۴)، (۵) و (۶) به صورت جداگانه ثبت و تجزیه و تحلیل شده اند.

جدول ۲: عملکرد الگوریتم ها در تکرار ۱۰۰ با بعد ۱۰ (توابع تک وجهی، چند وجهی)

Table 2: The performance of algorithms in repetition 100 and dimension 10 (monohedral, polyhedral functions)

F	AFT		HOA		FA		ALO		WOA		BA		HHO		AVOA	
	Best	STD	Best	STD	Best	STD	Best	STD	Best	STD	Best	STD	Best	STD	Best	STD
F1	0.03192 9	0.03637 5	80.453	13.273	229.56	96.895	4789.6	251.93	1.1775e-24	1.238e-23	2479.9	1128.7	5.6455e-09	2.0839e-09	<b>1.4829e-59</b>	<b>2.5685e-59</b>
F2	0.19325	0.15544	25.104	12.957	4.5511	0.028656	19.473	0.27881	9.8199e-15	9.2454e-15	27.175	20.045	8.2395e-09	2.5417e-09	<b>2.2326e-27</b>	<b>3.8661e-27</b>
F3	28.285	17.464	2739.9	418.4	594.38	198.07	6608.9	858.24	2650.7	1442.8	5666.9	4240.8	9.3484e-09	7.363e-10	<b>2.2682e-40</b>	<b>3.9286e-40</b>
F4	1.005	0.73945	9.488	3.9449	14.502	2.8528	38.542	19.057	25.813	10.692	43.461	6.7465	6.0988e-09	2.526e-09	<b>4.9674e-31</b>	<b>8.5713e-31</b>
F5	394.2	614.89	3076.6	6304	15291	1366.2	2.6288e+06	2.9091e+06	8.1942	0.079619	3.0219e+06	3.9429e+06	0.1791	0.29123	<b>0.00037869</b>	<b>0.00035869</b>
F6	0.00803 04	0.00429 59	40.344	65.762	326.16	33.359	4864.6	936.96	0.1166	0.10068	4318.8	469.54	0.0011106	0.00040779	<b>1.5103e-05</b>	<b>1.6269e-05</b>
F7	0.0434	0.01590 6	0.13339	0.06619 8	0.00854 47	0.010467	1.0243	0.73293	0.0592	0.0024252	0.26948	0.22908	0.00033848	0.00018062	<b>0.00022965</b>	<b>0.00012599</b>
F8	-2651.2	125.71	-1524.3	148.07	-2631.5	155.9	-1821.8	130.7	-3595	111.19	-1926.4	185.05	-1286.1	190.61	<b>-4150</b>	<b>68.663</b>
F9	18.949	4.5183	89.062	9.7035	47.932	27.432	69.885	17.515	5.5219	11.865	22.89	12.765	1.9933e-09	1.7743e-09	<b>0</b>	<b>0</b>
F10	1.6383	0.60694	19.908	0.20211	17.931	0.55658	16.58	0.80678	3.1162e-12	2.6177e-12	14.678	2.3728	6.3188e-09	1.2243e-09	<b>4.4409e-16</b>	<b>0</b>
F11	0.1321	0.33442	1.7256	0.01760 7	2.6658	0.833	34.222	5.8456	0.027448	0.0079645	51.751	17.901	4.6281e-09	3.2977e-09	<b>0</b>	<b>0</b>
F12	0.97925	0.70265	4.3278	0.2914	12.543	3.9091	4.669e+06	1.5892e+06	0.066894	0.024609	1.5448e+07	1.9904e+07	<b>0.00056407</b>	<b>0.00087688</b>	0.0067426	0.011676
F13	1.5088	2.4141	7.9603	3.5063	18.557	9.8394	1.3186e+07	1.569e+07	0.16521	0.090832	9.5054e+06	8.3157e+06	0.001435	0.0011482	<b>1.4513e-06</b>	<b>1.1257e-06</b>
Time	0.3213	0.2134		1.6086		0.5652		0.03876		0.05217		0.17824		0.038782		

عملکرد الگوریتم علی بابا و چهل دزد در مقایسه با سایر الگوریتم ها با استفاده از توابع استاندارد F1 تا F13 و با بعد ۱۰۰ و تکرار ۱۰۰ مورد بررسی قرار گرفته است. نتایج این ارزیابی در جدول (۲) ارائه شده است که نشان می دهد الگوریتم کرکس آفریقایی در تمام توابع تک وجهی و در اکثر توابع چند وجهی توانسته بهترین پاسخ و کمترین انحراف معیار را ارائه دهد. در رتبه های بعدی معمولا الگوریتم های شاهین هریس و یا نهنگ قرار می گیرند. الگوریتم علی بابا و چهل دزد در اکثر موارد پس از الگوریتم های کرکس آفریقایی، شاهین هریس و نهنگ توانسته بهترین پاسخ را بدست آورد. ارزیابی ها نشان می دهد که برای یافتن بهترین پاسخ، عملکرد الگوریتم علی بابا و چهل دزد از عملکرد سه الگوریتم دیگر بدتر بوده و از سایر الگوریتم های مورد بررسی بهتر بوده است. عملکرد ضعیفتر الگوریتم چهل دزد و علی بابا در توابع تک وجهی و چند وجهی نسبت به کرکس آفریقایی،

<sup>1</sup> Exploration

<sup>2</sup> Exploitation

شاهین هریس و نهنگ احتمالاً به دلیل بهره برداری ضعیفتر در فاز نهایی جستجو، حساسیت به تنظیمات اولیه، و عدم تنوع کافی در جمعیت است. در مقابل، این الگوریتم‌ها به دلیل طراحی پیچیده‌تر و تطبیق‌پذیری بالاتر، عملکرد بهتری در این نوع توابع دارند. بدترین عملکرد از این جهت به الگوریتم‌های شیرمورچه و خفash اختصاص دارد. کمترین زمان اجرا را به ترتیب الگوریتم‌های نهنگ، کرکس آفریقا و خفash دارا می‌باشند. از این جهت الگوریتم علی بابا و چهل دزد رتبه ششم را در بین هشت الگوریتم بررسی شده دارد که عملکرد مناسبی نمی‌باشد. با توجه به موارد بیان شده می‌توان نتیجه گرفت که عملکرد الگوریتم علی بابا و چهل دزد از نظر بهترین پاسخ پیدا شده و نیز زمان اجرا در میان الگوریتم‌های بررسی شده مناسب نمی‌باشد. بهترین عملکرد را الگوریتم کرکس آفریقا می‌دارد.

جدول ۳: عملکرد الگوریتم‌ها در تکرار ۱۰۰۰ با بعد ۱۰ (تابع تک وجهی، چند وجهی)

Table 3: The performance of algorithms in repetition 1000 and dimension 10 (monohedral, polyhedral functions)

	AFT		HOA		FA		ALO		WOA		BA		HHO		AVOA	
F	Best	STD	Best	STD	Best	STD	Best	STD	Best	STD	Best	STD	Best	STD	Best	STD
F1	2.5183e-41	3.3646e-41	2.0212e-30	2.4332e-30	0.78624	0.10796	5122.2	1470.4	1.0846e-268	0	2514	974.78	2.6016e-09	2.1225e-09	<b>0</b>	<b>0</b>
F2	1.7557e-18	2.4739e-18	27.621	8.0375	0.21926	0.04541	18.236	3.9354	6.5763e-146	5.8723e-146	26.927	29.568	4.3977e-09	4.1608e-09	<b>1.7139e-320</b>	<b>0</b>
F3	3.6008e-18	2.54e-19	466.18	36.321	0.60065	0.054665	5213.5	827.97	0.0010724	0.0011161	5474.6	1080.1	4.1902e-09	3.6102e-09	<b>0</b>	<b>0</b>
F4	6.4627e-08	9.1376e-08	6.0606e-12	8.5709e-12	0.46213	0.0054992	41.994	5.4758	1.7471	2.4468	25.481	14.802	5.3274e-09	2.0319e-09	<b>4.9407e-324</b>	<b>0</b>
F5	2.0011	2.8079	8.9772	4.8091	248.29	329.79	1.3541e+06	1.5457e+06	6.0964	0.095928	3.2327e+05	1.3691e+05	0.00082669	0.001078	<b>3.0822e-06</b>	<b>3.7719e-06</b>
F6	<b>0</b>	<b>0</b>	2.2533	0.0027788	0.77823	0.023009	3584.1	531.72	5.9489e-05	9.4825e-06	7584	485.86	3.7306e-06	2.937e-06	2.2746e-14	3.2449e-14
F7	0.0055242	0.00071677	0.057691	0.062594	5.19e-05	1.2255e-05	0.56532	0.20238	0.0028697	0.0039801	0.045428	0.033509	8.1232e-05	8.5386e-05	<b>8.8398e-05</b>	<b>5.6793e-05</b>
F8	-3341	307.07	-2105.4	780.98	-2577.8	377.89	-1997.3	265.53	-3655.6	230.45	-1911.4	461.85	-1521.2	257.77	<b>-4051.6</b>	<b>239.34</b>
F9	12.934	5.6283	62.416	7.1029	56.129	4.2733	56.742	7.1583	0	0	29.353	9.1459	6.0462e-09	5.236e-09	<b>0</b>	<b>0</b>
F10	7.5895e-15	0	19.661	0.10977	19.193	0.0011088	15.561	0.55043	5.7732e-15	2.5121e-15	13.544	0.81076	4.7512e-09	1.6493e-09	<b>4.4409e-16</b>	<b>0</b>
F11	0.072563	0.053861	1.7573	0.37887	0.52306	0.065161	33.239	1.0068	0	0	38.403	20.706	5.3939e-09	3.1928e-09	<b>0</b>	<b>0</b>
F12	<b>4.7116e-32</b>	<b>0</b>	4.7647	3.9736	15.556	2.241	6.7055e+05	3.0648e+05	0.00028729	0.00020188	1.1809e+06	5.908e+05	4.5542e-06	4.7694e-06	1.0342e-14	7.6651e-15
F13	<b>1.3498e-32</b>	<b>0</b>	8.5953	6.1354	0.045814	0.0011874	7.8154e+06	6.6755e+06	0.00037404	0.00035949	4.1392e+05	5.4784e+05	4.153e-05	6.0309e-05	1.7475e-12	7.4407e-13
Time	0.8793	1.7007	25.3328	14.3370					<b>0.3666</b>		0.4913		0.9823		0.5213	

جدول (۳) عملکرد الگوریتم چهل دزد و علی بابا با سایر الگوریتم‌ها با استفاده از توابع F13 تا F1 و تکرار ۱۰۰۰ در سه معیار بهترین پاسخ، انحراف معیار و میانگین زمان اجرا نشان می‌دهد. در حل توابع تک وجهی، بهترین عملکرد الگوریتم چهل دزد و علی بابا در معیار بهترین پاسخ مربوط به تابع F6 بوده و پس از آن تابع F3 است. همچنین، بجز تابع F6 در سایر توابع الگوریتم کرکس آفریقا نسبت به الگوریتم چهل دزد و علی بابا مقدار بهینه تری را بدست آورده و الگوریتم شاهین هریس نیز در غالب موارد برتر بوده است. در مقایسه بین الگوریتم‌های نهنگ و شاهین هریس می‌توان گفت که این دو نسبت به هم برتری معنا داری ندارند. بدترین نتایج در اکثر موارد مربوط به الگوریتم شیرمورچه و خفash می‌باشد. در اینجا مشخص است که نسبت به نتایج موجود در جدول (۲)، الگوریتم چهل دزد و علی بابا در یافتن بهترین پاسخ، موفق‌تر عمل کرده و جواب‌های مورد قبول تری را بدست آورده است. بهترین عملکرد الگوریتم چهل دزد و علی بابا برای یافتن بهترین پاسخ در حل توابع چند وجهی متعلق به حل توابع F12 و F13 است. تمام الگوریتم‌ها عملکرد بهتری داشته است. همچنین، بدترین عملکرد را در حل تابع F8 داشته است. برتری کرکس آفریقا و شاهین هریس در برابر الگوریتم چهل دزد و علی بابا و در حل

توابع چند وجهی نسبت به توابع تک وجهی کمتر بوده است و این نشان می دهد که الگوریتم چهل دزد و علی بابا عملکرد بهتری در حل مسائل با پیچیدگی بیشتر داشته است. مقدار انحراف معیار برای الگوریتم چهل دزد و علی بابا و کرکس آفریقایی نسبتاً پایین است، که نشان دهنده پایداری و یکنواختی در عملکرد این دو الگوریتم می باشد.

جدول ۴: عملکرد الگوریتم ها در تکرار ۱۰۰ با بعد ۲۰ (توابع تک وجهی، چند وجهی)

Table 4: The performance of algorithms in repetition 100 and dimension 20 (monohedral, polyhedral functions)

	AFT		HOA		FA		ALO		WOA		BA		HHO		AVOA	
F	Best	STD	Best	STD	Best	STD	Best	STD	Best	STD	Best	STD	Best	STD	Best	STD
F1	33.728	3.7598	679.01	410.47	9756.6	92.216	14203	7533.1	2.0828e-22	2.5647e-22	11989	262.02	7.4899e-09	1.9604e-09	<b>4.883e-64</b>	<b>8.4575e-64</b>
F2	5.238	3.3489	23969	31895	83.672	9.86	3096.6	4065.2	3.0696e-13	1.9675e-13	58.369	5.7998	6.4646e-09	3.2454e-09	<b>3.7791e-25</b>	<b>6.5451e-25</b>
F3	1859.1	1187	2576.4	1132.43	10469	3029.9	26083	16789	20129	2193	37165	28031	3.7498e-09	4.8856e-09	<b>5.0685e-39</b>	<b>8.7789e-39</b>
F4	19.59	8.8068	13.012	4.6837	37.578	7.5379	52.381	11.407	69.422	27.487	46.627	9.4885	4.3158e-09	2.8769e-09	<b>2.9243e-28</b>	<b>5.0649e-28</b>
F5	956.16	705.32	40643	7799.6	1.1023e+06	4.9402e+05	2.2326e+07	7.1048e+06	18.563	0.059716	4.3394e+06	3.5076e+05	<b>0.22775</b>	<b>0.32083</b>	5.8137	10.065
F6	16.639	17.746	1001.1	221.96	6840.1	600.84	17574	878.68	0.36012	0.15211	10637	847.09	<b>0.001483</b>	<b>0.00095222</b>	0.083781	0.072762
F7	0.079684	0.03303	0.14578	0.076517	0.086523	0.0041014	9.3582	0.54317	0.012994	0.0036901	0.54378	0.048349	0.0019551	0.001386	<b>9.5307e-05</b>	<b>3.2385e-05</b>
F8	-4825.9	186	-2436.2	141.68	-5294.2	655.38	-3208.9	1887.15	-7187.9	140.76	-3186.3	1280	-2450.2	123.91	<b>-7161.1</b>	<b>103.1</b>
F9	73.044	32.189	209.78	13.33	109.74	16.477	194.13	2.9513	0.63533	0.8985	46.288	0.71017	4.8437e-09	1.5191e-09	<b>0</b>	<b>0</b>
F10	4.2498	0.78657	20.103	0.48313	19.872	0.27959	18.468	0.18611	2.6916e-11	3.5401e-11	14.926	0.84732	5.7634e-09	1.5793e-09	<b>4.4409e-16</b>	<b>0</b>
F11	1.5086	0.13427	8.3745	1.3215	62.806	14.707	139.28	48.476	7.2164e-16	8.6355e-16	120.31	1.3399	2.7613e-09	2.3536e-09	<b>0</b>	<b>0</b>
F12	10.626	1.9472	8.8708	3.676	1.7372e+05	1.4034e+05	1.7672e+07	4.0065e+06	0.086189	0.021086	1.255e+07	1.2116e+07	0.00035651	0.00037825	<b>6.1871e-05</b>	<b>7.1163e-05</b>
F13	39.004	11.323	179.39	221.49	1.6765e+06	1.935e+06	1.2803e+08	5.3276e+07	0.36163	0.029869	7.942e+06	13098	<b>0.0019454</b>	<b>0.0050688</b>	0.0090698	0.015705
Time	1.1538		0.2153		1.7693		1.2307		0.0764		<b>0.0622</b>		1.2391		0.0871	

نتایج موجود در جدول (۴) نشان می دهد که در حل توابع تک وجهی، الگوریتم کرکس آفریقایی در توابع F1 تا F4 و F7 عملکرد شاهین هریس در توابع F5 و F6 بهترین پاسخ ها را بدست آورده است. در اینجا نیز الگوریتم چهل دزد و علی بابا عملکرد قابل قبولی نداشته و در اکثر موارد برای یافتن پاسخ بهینه در رتبه چهارم قرار می گیرد. همچنین، بدترین پاسخ های بهینه در اکثر توابع توسط الگوریتم های شیرمورچه و خفash بدست آمده است. در حل توابع چند وجهی، الگوریتم های کرکس آفریقایی، شاهین هریس و نهنگ به ترتیب بهترین پاسخ ها را در اکثر توابع بدست آورده است. الگوریتم علی بابا و چهل دزد در رتبه بعدی قرار می گیرد. همانطور که از نتایج مشخص است عملکرد الگوریتم علی بابا و چهل دزد در یافتن بهترین پاسخ با افزایش ابعاد مسئله بدتر شده است. در معیار زمان اجرا نیز این الگوریتم یکی از بالاترین زمان ها را دارد.

جدول ۵: عملکرد الگوریتم ها در تکرار ۱۰۰۰ با بعد ۲۰ (توابع تک وجهی، چند وجهی)

Table 6: The performance of algorithms in repetition 1000 and dimension 20 (Monohedral, polyhedral functions)

	AFT		HOA		FA		ALO		WOA		BA		HHO		AVOA	
F	Best	STD	Best	STD	Best	STD	Best	STD	Best	STD	Best	STD	Best	STD	Best	STD
F1	1.2041e-16	1.5934e-16	1.9394e-25	1.7092e-25	5.648	0.24684	15896	2435.6	3.1834e-254	0	9540.1	5326.2	6.3109e-09	4.0984e-09	<b>0</b>	<b>0</b>
F2	3.9789e-09	4.9577e-09	29352	41361	41.717	57.786	137.18	73.424	4.3325e-147	6.0712e-147	43.964	10.898	7.0264e-09	1.7857e-09	<b>7.1468e-318</b>	<b>0</b>
F3	0.0079357	0.0057854	4855	802.95	7.4542	1.3327	32801	11815	18.674	9.1394	22145	2795.3	3.9871e-09	1.2306e-09	<b>0</b>	<b>0</b>

F4	1.212	0.25327	5.6868e-14	7.8101e-14	1.0231	0.023936	61.038	1.9596	56.477	23.088	33.566	8.3755	8.1716e-09	2.4387e-09	7.4427e-309	0
F5	8.9855	0.012981	18.991	3.012981	114.78	70.731	2.2277e+07	3.9113e+06	16.999	0.02944	5.8151e+06	2.8018e+06	0.0027688	0.003352	2.3998e-06	2.9622e-06
F6	4.6234e-18	4.6883e-18	4.7492	0.0013543	5.2365	0.18595	12575	879.08	0.0043188	0.001972	8713.2	4607.8	0.00012704	0.00018692	2.6445e-11	1.0393e-11
F7	0.024464	0.0027115	0.024595	0.01142	0.00023794	3.9433e-05	13.026	6.2971	0.0025634	0.0013429	0.6084	0.48234	3.8436e-05	4.3968e-05	5.4647e-05	1.5004e-05
F8	-5496.8	29.058	-3245	94.16	-5171.7	151.97	-2807.8	239.92	-5844.7	21.47	-3616.5	1086.2	-2137.1	138.24	-8379.7	1.0689e-09
F9	71.139	13.367	186	33.504	116.74	24.311	196.09	5.4974	0	0	58.21	30.254	5.2059e-09	2.3833e-09	0	0
F10	1.2263	1.7342	20.323	0.13118	19.808	0.18589	17.79	0.66146	2.2204e-15	2.5121e-15	15.108	2.2407	4.5747e-09	1.5986e-09	4.4409e-16	0
F11	0.025786	0.015575	2.0968	0.60166	1.0378	0.006422	157.44	18.831	0.025909	0.035934	84.949	22.711	5.4938e-09	4.6148e-09	0	0
F12	0.77803	1.1003	6.6928	0.74522	12.221	1.6029	1.5384e+07	7.0539e+06	0.014878	0.0091009	5.9505e+05	6.9568e+05	2.8996e-07	1.2244e-07	2.8149e-11	2.2612e-11
F13	5.9508e-17	6.407e-17	19.184	6.4063	0.27232	0.016953	9.9376e+07	1.0062e+08	0.13464	0.019681	5.6348e+06	4.5584e+06	8.7456e-06	9.4594e-06	2.9835e-10	1.7039e-10
Time	1.1428		1.7142		27.2857		34.2857		0.4857		0.5362		1.54209		0.5391	

عملکرد الگوریتم چهل دزد و علی‌بابا با سایر الگوریتم‌ها با استفاده از توابع F1 تا F13 و با بعد ۲۰ و تکرار ۱۰۰۰ در سه معیار بهترین پاسخ، انحراف معیار و میانگین زمان اجرا در جدول (۵) نشان داده شده است. الگوریتم علی‌بابا و چهل دزد در یافتن مقدار بهینه در توابع F1، F2، F3، F4، F5، F6 و F13 عملکرد قابل قبولی داشته است اما برای بقیه توابع نتوانسته است مقدار بهینه مناسبی را پیدا نماید. برخلاف این الگوریتم، الگوریتم کرکس آفریقایی بهترین عملکرد را داشته و توانسته است مقدار بهینه صفر را برای ۴ تابع تک وجهی و ۳ تابع چند وجهی بدست آورد. بهترین عملکرد الگوریتم چهل دزد و علی‌بابا در مقایسه با الگوریتم کرکس آفریقایی در یافتن جواب بهینه‌ی توابع F6 و F13 بوده است. در اینجا نیز در اکثر موارد الگوریتم شاهین هریس مقدار آفریقایی در توابع تک وجهی بدست آورده است. در نتایج تابع F8 مشاهده می‌شود که به طور غیرمنتظره‌ای بهینه‌تری را از الگوریتم چهل دزد و علی‌بابا بدست آورده است. در حالی که در سایر توابع از جمله بدترین الگوریتم‌ها بوده‌اند. مقایسه نتایج جدول (۴) و (۵) نشان می‌دهد که با افزایش تعداد تکرار، الگوریتم علی‌بابا و چهل دزد پاسخ‌های بهینه‌تری را بدست آورده است.

جدول ۶: عملکرد الگوریتم‌ها در تکرار ۱۰۰ با بعد ۳۰ (تابع تک وجهی، چند وجهی)

Table 5: The performance of algorithms in repetition 100 and dimension 30 (monohedral, polyhedral functions)

AFT		HOA		FA		ALO		WOA		BA		HHO		AVOA		
F	Best	STD	Best	STD	Best	STD	Best	STD	Best	STD	Best	STD	Best	STD	Best	STD
F1	431.78	245.16	844.06	51.753	26587	2223.3	27654	4642.2	6.285e-22	8.7708e-22	17471	1205.4	5.5548e-09	3.8624e-09	7.7257e-59	1.3381e-58
F2	16.673	2.8511	1.4028e+09	1.9498e+09	124.37	43.844	2.802e+06	3.9525e+06	3.5119e-14	6.776e-15	1294.3	1775.1	5.9983e-09	3.235e-09	3.284e-24	5.688e-24
F3	3874.7	972.24	26234	11230	24604	1121.2	63152	19544	1.4511e+05	13718	76597	5924.8	1.5973e-09	1.3171e-09	4.6379e-39	8.0329e-39
F4	27.416	9.6117	13.518	2.0722	53.391	5.9528	64.215	4.0686	62.847	38.081	41.291	3.7042	5.6078e-09	3.432e-10	1.1524e-29	1.7938e-29
F5	90854	25923	82101	60145	2.2226e+07	1.0311e+07	8.5513e+07	1.1187e+06	28.784	0.0051305	2.1693e+07	3.3262e+06	0.033636	0.022209	9.3713	16.19
F6	616.13	174.71	1599.1	193.68	21270	2840.8	28520	4762.3	1.222	0.0091081	11931	344.12	0.0026635	0.0012735	0.0083307	0.0028494
F7	0.27079	0.23805	0.28124	0.043154	0.19761	0.067458	22.404	2.7267	0.021494	0.0042587	3.0397	1.367	0.00074961	0.00040023	0.00042517	9.4811e-05
F8	-6800	857.32	-2985.4	150.73	-6598.7	1012.6	-4348.3	842.89	-8261.2	141.92	-3445.1	249.47	-3103	1129.1	-11666	101.3
F9	117.28	8.9636	350.66	24.93	208.85	24.626	345.6	12.939	1.1369e-13	0	57.253	23.222	6.1369e-09	3.5386e-10	0	0

### ۳۵ بررسی عملکرد الگوریتم علی بابا و چهل دزد با برخی الگوریتم های فرالبتکاری / فاطمه دلبری - علی اکبر نقابی - جلال ایزی

<b>F10</b>	8.5513	2.397	20.488	0.030639	20.04	0.20944	18.94	0.6169	3.2014e-12	2.7282e-12	15.808	1.2852	4.4425e-09	3.5749e-09	<b>4.4409e-16</b>	<b>0</b>
<b>F11</b>	5.2034	1.6555	9.1101	2.417	164.53	0.70602	300.8	20.855	1.1102e-16	0	165.9	45.662	2.0154e-09	2.7294e-09	<b>0</b>	<b>0</b>
<b>F12</b>	18.321	10.981	14.284	5.0685	6.2883e+06	4.7396e+06	1.2308e+08	9.9264e+06	0.069364	0.022995	2.3755e+06	1.3887e+06	0.00058703	0.00045554	<b>0.00056828</b>	<b>0.00093293</b>
<b>F13</b>	124.2	81.408	54.935	2.5664	7.0149e+07	3.8109e+07	2.1207e+08	5.814e+07	1.4268	0.49754	1.1697e+08	9.0965e+07	0.00152	0.00079341	<b>0.00026218</b>	<b>0.00023704</b>
<b>Time</b>	1.0769		0.2316		1.4094		1.5384		0.5384		0.3846		0.1243		<b>0.044278</b>	

عملکرد الگوریتم چهل دزد و علی بابا با سایر الگوریتمها با استفاده از توابع F1 تا F13 و با بعد ۳۰ و تکرار ۱۰۰ در سه معیار بهترین پاسخ، انحراف معیار و میانگین زمان اجرا در جدول (۶) نشان داده شده است. نتایج نشان می دهد که الگوریتم چهل دزد و علی بابا در توابع تکوچهی در اکثر موارد نتوانسته است به مقدار بھینه (صفر) نزدیک شود. برای مثال، در توابع F3، F5 و F6 با مقدار بھینه فاصله زیادی دارد. سایر الگوریتمها مانند کرکس آفریقایی و شاهین هریس در تمام توابع تک و جهی نسبت به الگوریتم چهل دزد و علی بابا برتری داشته اند. این مسئله در اکثر موارد نسبت به الگوریتم نهنگ هم صادق است. بنابر این الگوریتم چهل دزد و علی بابا در اکثر موارد در رتبه چهارم بهترین جواب بدست آمده قرار می گیرد. بدترین عملکرد در این زمینه به الگوریتم های شیر مورچه، خفash و کرم شب تاب تعلق دارد. در توابع تکوچهی الگوریتم های کرکس آفریقایی و شاهین هریس انحراف معیار سیار پایینی دارند، که نشان دهنده پایداری بالای این الگوریتم ها است. در توابع چند و جهی، با افزایش پیچیدگی، عملکرد الگوریتم چهل دزد و علی بابا در یافتن بهترین جواب از رقبا بدتر شده است. در اینجا نیز عموماً الگوریتم های کرکس آفریقایی، شاهین هریس و نهنگ عملکرد بهتری را نسبت به سایر الگوریتم ها داشته اند. بهترین عملکرد در یافتن جواب بھینه به الگوریتم کرکس آفریقایی و در توابع F9 و F11 تعلق دارد.

جدول ۷: عملکرد الگوریتم ها در تکرار ۱۰۰۰ با بعد ۳۰ (توابع تک و جهی، چند و جهی)

Table 7: The performance of algorithms in repetition 1000 and dimension 30 (monohedral, polyhedral functions)

AFT		HOA		FA		ALO		WOA		BA		HHO		AVOA		
F	Best	STD	Best	STD	Best	STD	Best	STD	Best	STD	Best	STD	Best	STD	Best	STD
<b>F1</b>	9.4834e-10	1.4021e-10	2.2118e-17	3.128e-17	14.527	0.36609	30630	2440.7	1.0953e-250	0	17226	6175.9	1.1397e-09	1.1523e-09	<b>0</b>	<b>0</b>
<b>F2</b>	0.0074918	0.0003182	80502	36048	77.906	107.31	1.8714e+07	2.3403e+07	2.5026e-140	3.395e-140	91.98	25.13	5.6318e-09	3.3224e-09	<b>1.4761e-304</b>	<b>0</b>
<b>F3</b>	16.291	13.992	9961.5	1948.4	27.247	6.2741	39966	1355.5	882.76	1246.2	34390	14195	7.7914e-10	4.6796e-10	<b>0</b>	<b>0</b>
<b>F4</b>	14.963	1.212	3.7972e-13	3.1902e-13	1.4398	0.16319	58.306	0.9614	46.964	9.5844	54.941	9.0864	3.9002e-09	1.6018e-09	<b>1.0449e-307</b>	<b>0</b>
<b>F5</b>	28.324	1.5338	29.003	0.018953	278.71	163.46	5.709e+07	5.5919e+06	26.771	0.12556	2.9746e+06	2.3561e+05	0.0041129	0.0062492	<b>7.4748e-06</b>	<b>9.9143e-06</b>
<b>F6</b>	1.3499e-08	1.6015e-08	7.2721	0.3223	13.181	0.86051	30380	2717.9	0.019073	0.0030483	24674	11136	0.00013601	0.00012315	<b>3.9319e-09</b>	<b>2.2007e-09</b>
<b>F7</b>	0.069513	0.014751	0.058005	0.018878	0.00062787	0.00013624	31.077	11.709	0.0012298	0.0005651	1.1147	0.64565	2.6733e-05	2.2145e-05	<b>3.5795e-05</b>	<b>4.2843e-05</b>
<b>F8</b>	-8481.7	975.02	-3986.9	281.41	-6371.6	167.183	-3934.8	316.28	-12345	113.17	-3800.4	951.75	-5067.5	606.44	<b>-12451</b>	<b>206.02</b>
<b>F9</b>	75.617	8.4425	298.78	34.279	178.95	22.469	343.21	25.015	0	0	179.1	94.272	5.0509e-09	4.582e-09	<b>0</b>	<b>0</b>
<b>F10</b>	3.47	1.6308	20.516	0.065815	20.012	0.040834	19.118	0.15142	5.7732e-15	2.5121e-15	15.738	0.9845	5.49e-09	2.6742e-09	<b>4.4409e-16</b>	<b>0</b>
<b>F11</b>	0.014761	0.010416	2.1357	1.3012	1.1391	0.0046677	326.75	49.112	0	0	204.47	34.983	1.1529e-09	1.0138e-09	<b>0</b>	<b>0</b>
<b>F12</b>	3.8012	5.3757	14.711	7.9848	16.046	1.7069	1.0987e+08	7.7235e+07	0.0057582	0.0054699	1.275e+07	1.2367e+07	1.1535e-06	6.3328e-07	<b>2.5709e-10</b>	<b>1.5061e-10</b>
<b>F13</b>	0.44769	0.61759	9.0951	6.1373	0.62454	0.057198	2.4908e+08	2.6088e+07	0.3128	0.28414	3.7987e+07	2.7736e+07	2.8194e-05	1.4814e-05	<b>6.2571e-10</b>	<b>5.926e-10</b>
<b>Time</b>	1.2137		2.1863		26.168		50.884		0.6547		0.5926		1.2918		<b>0.5291</b>	

جدول (۷) عملکرد الگوریتم ها در حل توابع  $F1$  تا  $F13$ ، با بعد ۳۰ و تکرار ۱۰۰ را در سه معیار بهترین پاسخ، انحراف معیار و میانگین زمان اجرا نشان می دهد. در مقایسه با سایر الگوریتم ها، بهترین عملکرد الگوریتم علی بابا و چهل دزد در یافتن بهترین جواب مربوط به حل تابع  $F6$  می باشد که پس از الگوریتم کرکس آفریقایی در رتبه دوم قرار می گیرد. همچنین، بدترین عملکرد آن در یافتن پاسخ بهینه ای توابع  $F7$  و  $F8$  می باشد بطوری که سومین بدترین پاسخ بهینه را بدست آورده است. بجز تابع  $F8$  در سایر توابع الگوریتم کرکس آفریقایی در میان الگوریتم های بررسی شده بهترین پاسخ ها را بدست آورده و در رتبه بعدی معمولاً الگوریتم شاهین هریس و یا نهنگ قرار داردند. الگوریتم علی بابا و چهل دزد در قیاس با این الگوریتم ها پاسخ بهینه ای بدست نیاورده است. بدترین پاسخ های بهینه را معمولاً الگوریتم های شیرمورچه و خفash و در رتبه بعدی الگوریتم گله اسب پیدا کرده است. با وجود این، تابع  $F8$  به صورت یک استثنا عمل کرده و بهترین پاسخ این تابع توسط الگوریتم های خفash و شیرمورچه بدست آمده است. در معیار میانگین زمان اجرا، الگوریتم کرکس آفریقایی و خفash دارای کمترین میانگین زمان اجرا می باشند. مقایسه نتایج جدول (۶) و (۷) نشان می دهد که با افزایش تعداد تکرار، الگوریتم علی بابا و چهل دزد پاسخ های بهینه تری را بدست آورده است.

جدول ۸: عملکرد الگوریتم های مورد بررسی با استفاده از توابع  $F14$  تا  $F23$  و تکرار ۱۰۰

Table 8: The performance of algorithms in repetition 100 (F14 - F23 functions)

AFT		HOA		FA		ALO		WOA		BA		HHO		AVOA		
Best	STD	Best	STD	Best	STD	Best	STD	Best	STD	Best	STD	Best	STD	Best	STD	
F14	0.598	0	3.4882	0.020789	7.5301	0.70009	7.814	2.3347	5.2458	7.3586e-07	7.3504	6.1777	1.3293	0.5739	5.8967	<b>4.8827</b>
F15	0.000 1023 4	0	0.02771 6	0.005889	0.021012	0.014171	0.03561	0.0065656	0.0005465	4.9776e-05	0.0038084	0.013142	0.00051654	0.00016839	0.00048364	<b>4.3605e-05</b>
F16	1.531 6	1.5701e-16	-1.0275	0.00012117	-0.75957	3.2191e-08	-0.93245	0.00037752	-1.3316	1.0774e-06	-0.75957	8.0095e-08	-0.553	0.3361	-1.0316	<b>1.1489e-14</b>
F17	0.287 2	0	0.92228	0.19588	0.39813	6.6346e-05	0.94757	0.057038	0.4251	1.5905	0.47321	4.7517e-12	0.6341	0.0002203	0.39789	<b>3.0806e-10</b>
F18	3	6.2804e-16	3.0017	0.0024105	3	19.092	5.4009	3.3953	3.0002	0.00017039	3	1.6807e-05	3.0001	0.00011566	3	<b>2.1279e-05</b>
F19	3.862 8	9.9301e-16	-3.8542	0.0027817	-3.8628	7.8985e-07	-3.7044	0.027559	-3.4737	0.5432	-3.8628	2.5571e-06	-3.3665	0.15404	-3.8627	<b>0.00015341</b>
F20	3.336 1	0	-2.6771	0.64145	-3.203	4.8168e-05	-2.9327	0.090862	-3.0468	0.35309	-3.3219	6.8299e-05	-1.9474	0.63049	-3.2811	<b>0.068004</b>
F21	5.173	4.313	-2.2681	0.90114	-5.0983	0.0013679	-1.3268	0.019616	-7.4172	3.3572	-6.3918	5.3193	-0.52706	0.047612	<b>-10.153</b>	<b>7.1687e-07</b>
F22	10.97 3	1.4891e-13	-5.8191	4.6029	-8.6414	5.3957	-1.373	0.088507	-6.5181	5.4025	-6.5844	5.4001	-3.0753	2.0431	-10.403	<b>1.1308e-07</b>
F23	5.126 6	4.685	-2.0933	6.1542	-3.4675	3.7826	-2.2221	0.45655	-8.643	0.14944	-7.8333	3.6075e-06	-3.3962	2.4502	<b>-10.536</b>	<b>1.3179e-06</b>
0.3213		0.2134		1.6086		0.5652		<b>0.03876</b>		0.05217		0.17824		<b>0.038782</b>		

توابع ترکیبی در بهینه سازی به دسته‌های از مسائل گفته می شود که از ترکیب چندین تابع ساده‌تر تشکیل شده‌اند. این توابع عموماً شامل ویژگی‌های مانند عدم تحدب، وجود چندین نقطه بهینه محلی و تعامل پیچیده بین متغیرها هستند. هدف از استفاده این توابع در مقایسه الگوریتم‌های بهینه سازی، بررسی توانایی آن‌ها در حل مسائل واقعی و پیچیده‌تر است. عملکرد الگوریتم‌ها برای حل توابع ترکیبی  $F14$  تا  $F23$  با تکرار ۱۰۰ در سه معیار بهترین پاسخ، انحراف معیار و میانگین زمان اجرا در جدول (۸) نشان داده شده است. نتایج نشان می دهد که الگوریتم علی بابا و چهل دزد در توابع  $F14$ ,  $F15$ ,  $F16$ ,  $F17$ ,  $F19$  نسبت به سایر الگوریتم‌ها توانسته است پاسخ بهینه تری را بدست آورد. اما، در توابع  $F20$ ,  $F21$ ,  $F22$  بدترین پاسخ های بهینه متعلق به این الگوریتم است. نتایج معیار بهترین پاسخ برای تابع  $F18$  نشان می دهد که الگوریتم‌های علی بابا و چهل دزد، کرم شب تاب، خفash و کرکس آفریقایی مقدار یکسانی را بدست آورده اند. همچنین، در تابع  $F19$  نتایج بسیار به هم نزدیک هستند. برخلاف نتایج توابع تک وجهمی و چند وجهی، در اینجا بهترین عملکرد را معمولاً الگوریتم های شاهین هریس و علی بابا و چهل دزد داشته اند و عملکرد الگوریتم کرکس آفریقایی علارغم اینکه کمترین زمان اجرا را دارا می باشد، قابل قبول نبوده است. الگوریتم‌های موفق در توابع ترکیبی باید توان این

قوی بین جستجوی سراسری و جستجوی محلی داشته باشند. الگوریتم کرکس آفریقایی بیشتر به بهره برداری محلی متکی است و توانایی جستجوی سراسری آن ممکن است در فضاهای پیچیده و ناهمگن ترکیبی کافی نباشد که این می تواند دلیل عدم عملکرد مناسب این الگوریتم در یافتن پاسخ بهینه در توابع ترکیبی باشد. عملکرد الگوریتم شیرمورچه در این توابع بهتر از نتایج مرتبط با توابع تک و چهی و چند وجهی بوده است. مقدار انحراف معیار برای الگوریتم چهل دزد و علی بابا در چهارتابع برابر صفر بوده و در بقیه توابع نیز نسبتاً پایین است، که نشان دهنده پایداری و یکنواختی در عملکرد این الگوریتم می باشد.

جدول ۹: عملکرد الگوریتم های مورد بررسی با استفاده از توابع F14 و F23 تا ۱۰۰۰ و تکرار ۱۰۰۰

Table 9: The performance of algorithms in repetition 1000 (F14 - F23 functions)

	AFT		HOA		FA		ALO		WOA		BA		HHO		AVOA	
	Best	STD	Best	STD	Best	STD	Best	STD	Best	STD	Best	STD	Best	STD	Best	STD
F14	0.698	0	2.0231	0.043007	2.4831	2.1003	2.0346	0.050568	0.788	1.8371e-07	16.872	5.9412	0.918	3.6054e-11	0.998	1.3597e-16
F15	0.00030749	5.421e-20	0.0052264	0.0016914	0.01098	0.01327	0.011039	0.0062676	0.0010402	0.00064066	0.00078498	0.00049747	0.00032969	2.7866e-05	0.00057634	1.3593e-05
F16	-1.0726	2.2204e-16	-1.0313	0.00035224	-1.0116	1.0537e-07	-0.98927	0.0086728	-1.0316	2.8435e-11	-1.0316	2.416e-08	-0.79997	0.21357	-1.0316	1.5701e-16
F17	0.39789	0	0.41362	0.0044792	0.3979	2.2477e-06	1.138	1.0463	0.40137	0.0049218	0.90001	0.7101	0.34789	8.5382e-06	0.49789	0
F18	3	9.9301e-16	3.0631	0.089226	3	1.5323e-07	3.1545	0.083989	3	5.7314e-05	43.5	57.276	3	9.4946e-08	3	1.3273e-07
F19	-3.8628	0	-3.8574	0.0036373	-3.8628	3.2989e-07	-3.7915	0.024945	-3.8618	0.001332	-3.8628	4.1688e-07	-2.9754	0.58296	-3.8628	1.9743e-14
F20	-3.322	0	-2.9354	0.12735	-3.2031	1.9071e-06	-2.8293	0.013911	-3.2489	0.10085	-3.2625	0.084007	-0.94256	0.23864	-3.1924	0.068643
F21	-6.418	5.2823	-2.699	3.0532	-5.0774	0.032179	-2.024	0.82211	-10.151	0.0020494	-2.6567	0.037044	-1.8254	1.2583	-10.153	1.7764e-15
F22	-7.0636	4.7225	-6.084	2.2833	-6.5841	5.3999	-2.7946	0.48072	-7.7451	3.7583	-7.7659	3.7294	-1.1185	0.32486	-10.403	1.7764e-15
F23	-3.9998	1.5962	-1.554	1.0678	-10.536	0.00062546	-3.1802	0.023872	-10.536	0.00011982	-1.6766	5.8231e-07	-0.99267	0.13178	-10.536	2.8087e-15
	1.0769		0.2316		1.4094		1.5384		0.5384		0.3846		0.1243		0.044278	

جدول (۹) عملکرد الگوریتم ها برای حل توابع ترکیبی F14 تا F23 با تکرار ۱۰۰۰ در سه معیار بهترین پاسخ، انحراف معیار و میانگین زمان اجرا را نشان می دهد. نتایج نشان می دهد که در توابع F16 و F20 بدترین پاسخ های بهینه متعلق به الگوریتم علی بابا و چهل دزد است. این الگوریتم در توابع F14 و F15 نسبت به سایر الگوریتم ها توانسته است پاسخ بهینه تری را بدست آورد. نتایج این معیار برای تابع F18 نشان می دهد که بجز الگوریتم های خفash، شیر مورچه و گله اسب سایر الگوریتم ها مقدار بهینه ی یکسانی را بدست آورده اند. همچنین، در تابع F19 نتایج بدست آمده برای اکثر الگوریتم ها بسیار به هم نزدیک است. نتایج معیار بهترین پاسخ نشان می دهد که الگوریتم شاهین هریس توانسته است در ۸ تابع (از مجموع ۱۰ تابع) بهترین جواب ها را بدست آورد و این مسئله نشان می دهد که برخلاف نتایج توابع تک وجهی و چند وجهی، در اینجا بهترین عملکرد را معمولاً الگوریتم شاهین هریس داشته است و عملکرد الگوریتم کرکس آفریقایی علارغم اینکه یکی از کمترین زمان های اجرا را دارا می باشد، قابل قبول نبوده است. عملکرد الگوریتم شیر مورچه در این توابع به مراتب بهتر از نتایج مرتبط با توابع تک وجهی و چند وجهی بوده است. الگوریتم شیر مورچه از یک ساختار گروهی الهام گرفته از رفتار طبیعی شیر مورچه ها استفاده می کند: در این الگوریتم گروه های شکارچی برای کشف نواحی جدید در فضای جستجو اقدام می کنند و سپس شکارچیان محاصره کننده روی نقاط جالب در فضای جستجو تمرکز می کنند. این ویژگی ها باعث می شوند که این الگوریتم در فضاهای پیچیده و ناهمگن، مانند توابع ترکیبی، عملکرد بهتری داشته باشد زیرا می تواند به سرعت بین نواحی مختلف حرکت کند و پاسخ های بهینه را پیدا کند. در مقایسه ای نتایج جداول (۸) و (۹) مشخص می شود که عملکرد الگوریتم ها در تکرار ۱۰۰ و ۱۰۰۰ تغییر محسوسی نداشته است و این می تواند ناشی از پیچیدگی توابع ترکیبی باشد.

## ۵-نتیجه گیری و پیشنهادهای آینده:

فرابتکاری به دلیل ویژگی های منحصر به فردی مانند تنوع جستجو و قابلیت بهره برداری مؤثر از راه حل های ممکن، توانایی حل طیف گسترده ای از مسائل بهینه سازی غیر خطی را دارند. این الگوریتم ها از استراتژی های جستجوی پویا و سازگاری در فرایند جستجو بهره می برند. در عین حال، فلسفه های متفاوت در طراحی این الگوریتم ها منجر به تفاوت در همگرایی، یافتن بهترین پاسخ و زمان محاسبه می شود. در این پژوهش، برای ارزیابی و مقایسه عملکرد الگوریتم چهل دزد و علی بابا که از داستان معروف "علی بابا و چهل دزد" الهام گرفته است، با ۷ الگوریتم فرابتکاری دیگر شامل الگوریتم های گله اسب، کرم شب تاب، شیرمورچه، نهنگ، خفاش، شاهین هریس و کرکس آفریقایی، از ۲۳ تابع تست استاندارد CEC2017 استفاده شده است. نتایج این پژوهش نشان می دهد که الگوریتم علی بابا و چهل دزد در مقایسه با الگوریتم های مقایسه شده عملکرد متوسطی دارد. این الگوریتم، در برخی مسائل بهینه سازی نتایج مناسبی ارائه می دهد. با این حال، در حل توابع تک وجهی و چند وجهی عملکرد این الگوریتم در مقایسه با الگوریتم های کرکس آفریقایی و شاهین هریس و در اکثر مواقع الگوریتم نهنگ قابل قبول نبوده است. دلایل این مسئله می تواند این باشد که الگوریتم های کرکس آفریقایی و شاهین هریس اغلب دارای تعادل بهتری بین جستجوی سراسری و جستجوی محلی هستند؛ زیرا الگوریتم کرکس آفریقایی از یک استراتژی شکار مبتنی بر رفتار طبیعی کرکس ها بهره می برد که توانایی بالایی در حرکت بین مناطق مختلف فضای جستجو و یافتن پاسخ های خوب را دارد. همچنین، الگوریتم شاهین هریس از مکانیزم های حمله ناگهانی و فرار تدریجی بهره می برد که باعث می شود در فاز نهایی به نقاط بهینه تر برسد. اما، احتمالاً الگوریتم چهل دزد و علی بابا در تعادل بین جستجو و بهره برداری به اندازه کافی قوی نبوده است. الگوریتم علی بابا و چهل دزد عموماً توانسته است عملکرد بهتری از الگوریتم های شیرمورچه، خفاش، کرم شب تاب و گله اسب داشته باشد. دلیل این عملکرد می تواند این مسئله باشد که الگوریتم چهل دزد و علی بابا از یک داستان یا سناریوی خاص بهره می برد که به ترکیب اصول جستجوی سراسری و موضعی کمک می کند. این الگوریتم ممکن است از رویکردهای خلاقانه تر یا سازگارتر با فضای پیچیده جستجوی توابع CEC2017 استفاده کرده باشد. الگوریتم هایی مانند شیرمورچه یا خفاش گاهی اوقات تعادل کافی بین جستجوی سراسری و موضعی را ندارند زیرا الگوریتم شیرمورچه ممکن است در فاز جستجوی سراسری بیش از حد تهاجمی عمل کرده و بهینه های محلی را از دست دهد. همچنین، الگوریتم خفاش به شدت به پارامترهای تنظیمات اولیه (مانند فرکانس و دامنه) وابسته است و ممکن است در مسائلی، کارایی لازم را نداشته باشد. الگوریتم هایی مانند گله اسب و کرم شب تاب بیشتر برای مسائل ساده تر یا مسائل با تعداد محدود بهینه های محلی طراحی شده اند و ممکن است با چالش های توابع CEC2017 مانند نویز و چند بهینگی به خوبی سازگار نشوند. در مسائل ساده تر (مانند توابع تکوجهی)، برخی الگوریتم ها ممکن است عملکرد خوبی نشان دهند، اما در مواجهه با توابع ترکیبی که ویژگی های پیچیده ای دارند، عملکرد واقعی آن ها مشخص می شود. بنابراین، توابع ترکیبی به عنوان یک معیار جامع تر برای ارزیابی الگوریتم ها استفاده شده است. در حل توابع ترکیبی، الگوریتم شاهین هریس توانسته پاسخ های بهینه تری را نسبت به کلیه الگوریتم های مورد بررسی بدهست آورده. در اینجا، عملکرد الگوریتم کرکس آفریقایی ضعیف بوده است ولی الگوریتم علی بابا و چهل دزد و نیز الگوریتم شیرمورچه عملکرد بهتری داشته اند. الگوریتم شاهین هریس دارای مولفه های دینامیکی است که با پیشرفت زمان اجرا، رفتار خود را تغییر داده و بهتر با توابع پیچیده سازگار می شود. ولی الگوریتم چهل دزد و علی بابا شاید فاقد چنین تطبیق بذیری بوده یا به دلیل ساختار کمتر پیچیده خود نتواند در شرایط چالش برانگیز رقابت کند که این می تواند دلیل عملکرد بهتر الگوریتم شاهین هریس در توابع ترکیبی باشد. با این حال، به طور کلی الگوریتم های شاهین هریس و کرکس آفریقایی در حل توابع بهینه سازی بررسی شده به دلیل کارایی بالا و زمان اجرای بهینه، بهترین عملکرد را از میان الگوریتم های مقایسه شده به دست آورده اند. این بررسی نشان می دهد که هر الگوریتم نقاط قوت و ضعف خاص خود را دارد و این تفاوت ها بسته به نوع مسئله و ویژگی های آن قابل توجه است. برخی الگوریتم ها در مسائل خاص با ویژگی های پیچیده و چند بعدی عملکرد بهتری دارند و برخی دیگر در مسائل ساده تر و بعد کم بهینه تر عمل می کنند. انتخاب بهترین الگوریتم بهینه سازی نیازمند توجه به خصوصیات مسئله، معیارهای عملکردی و محدودیت های زمانی و محاسباتی است. یافته های این تحقیق نشان دهنده اهمیت و ضرورت انجام مطالعات بیشتر و دقیق تر در زمینه مقایسه ای الگوریتم های فرابتکاری، به ویژه در مسائل واقعی و پیچیده می باشد. مطالعات مقایسه ای بیشتر می توانند به شناسایی نقاط ضعف و قوت الگوریتم های مختلف در حوزه های متنوع علمی و صنعتی کمک کنند. نتایج این پژوهش می تواند به عنوان الگوی مناسبی برای پژوهش های آینده در زمینه بهبود عملکرد الگوریتم های فرابتکاری مورد استفاده قرار گیرد. یکی از پیشنهادهای

آتی این پژوهش، توسعه الگوریتم چهل دزد و علی بابا برای حل مسائل بهینه‌سازی چندهدفه است. در مسائل چندهدفه، نیاز است که چندین هدف به صورت همزمان بهینه شوند که این چالش نیازمند بهبود روش‌های جستجو و بهره‌برداری است. این امر می‌تواند قابلیت الگوریتم چهل دزد و علی بابا را در حل مسائل پیچیده‌تر افزایش دهد. علاوه بر این، ترکیب الگوریتم‌های فرالبتکاری با روش‌های یادگیری ماشین نیز می‌تواند به بهبود عملکرد این الگوریتم‌ها کمک کند. با ترکیب این دو رویکرد، الگوریتم‌ها می‌توانند با استفاده از تجربیات گذشته و یادگیری از داده‌های پیشین، بهینه‌سازی‌های بهتری انجام دهند و نتایج کارآمدتری حاصل شود.

## منابع

1. Zhang, Y., S. Wang, and G. Ji, *A comprehensive survey on particle swarm optimization algorithm and its applications*. Mathematical problems in engineering, 2015. **2015**(1): p. 931256.
2. Gamarra, C. and J.M. Guerrero, *Computational optimization techniques applied to microgrids planning: A review*. Renewable and Sustainable Energy Reviews, 2015. **48**: p. 413-424.
3. SS, V.C. and A. HS, *Nature inspired meta heuristic algorithms for optimization problems*. Computing, 2022. **104**(2): p. 251-269.
4. Odili, J.B., *The dawn of metaheuristic algorithms*. International Journal of Software Engineering and Computer Systems, 2018. **4**(2): p. 49-61.
5. Slowik, A. and H. Kwasnicka, *Nature inspired methods and their industry applications—Swarm intelligence algorithms*. IEEE Transactions on Industrial Informatics, 2017. **14**(3): p. 1004-1015.
6. Braik, M., M.H. Ryalat, and H. Al-Zoubi, *A novel meta-heuristic algorithm for solving numerical optimization problems: Ali Baba and the forty thieves*. Neural Computing and Applications, 2022. **34**(1): p. 409-455.
7. Abualigah, L., et al., *Meta-heuristic optimization algorithms for solving real-world mechanical engineering design problems: a comprehensive survey, applications, comparative analysis, and results*. Neural Computing and Applications, 2022: p. 1-30.
8. Mirjalili, S., *Moth-flame optimization algorithm: A novel nature-inspired heuristic paradigm*. Knowledge-based systems, 2015. **89**: p. 228-249.
9. Zolghadr-Asli, B., O. Bozorg-Haddad, and X. Chu, *Crow search algorithm (CSA)*. Advanced optimization by nature-inspired algorithms, 2018: p. 143-149.
10. Mirjalili, S., S.M. Mirjalili, and A. Lewis, *Grey wolf optimizer*. Advances in engineering software, 2014. **69**: p. 46-61.
11. Thrift, P.R. *Fuzzy Logic Synthesis with Genetic Algorithms*. in ICGA. 1991.
12. Dorigo, M., M. Birattari, and T. Stutzle, *Ant colony optimization*. IEEE computational intelligence magazine, 2006. **1**(4): p. 28-39.
13. Kennedy, J. and R. Eberhart. *Particle swarm optimization*. in Proceedings of ICNN'95-international conference on neural networks. 1995. iee.
14. Rashedi, E., H. Nezamabadi-Pour, and S. Saryazdi, *GSA: a gravitational search algorithm*. Information sciences, 2009. **179**(13): p. 2232-2248.
15. Mirjalili, S. and S. Mirjalili, *Genetic algorithm*. Evolutionary algorithms and neural networks: theory and applications, 2019: p. 43-55.
16. Price, K., R.M. Storn, and J.A. Lampinen, *Differential evolution: a practical approach to global optimization*. 2006: Springer Science & Business Media.
17. MiarNaeimi, F., G. Azizyan, and M. Rashki, *Horse herd optimization algorithm: A nature-inspired algorithm for high-dimensional optimization problems*. Knowledge-Based Systems, 2021. **213**: p. 106711.
18. Heidari, A.A., et al., *Harris hawks optimization: Algorithm and applications*. Future generation computer systems, 2019. **97**: p. 849-872.
19. Abdollahzadeh, B., F.S. Gharehchopogh, and S. Mirjalili, *African vultures optimization algorithm: A new nature-inspired metaheuristic algorithm for global optimization problems*. Computers & Industrial Engineering, 2021. **158**: p. 107408.
20. Mirjalili, S., *The ant lion optimizer*. Advances in engineering software, 2015. **83**: p. 80-98.
21. Bangyal, W.H., J. Ahmad, and H.T. Rauf, *Optimization of neural network using improved bat algorithm for data classification*. Journal of Medical Imaging and Health Informatics, 2019. **9**(4): p. 670-681.
22. Yang, X.-S. and X. He, *Firefly algorithm: recent advances and applications*. International journal of swarm intelligence, 2013. **1**(1): p. 36-50.

23. Mirjalili, S. and A. Lewis, *The whale optimization algorithm*. Advances in engineering software, 2016. **95**: p. 51-67.
24. Singh, A. and A. Kumar, *Applications of nature-inspired meta-heuristic algorithms: A survey*. International Journal of Advanced Intelligence Paradigms, 2021. **20**(3-4): p. 388-417.
25. Luan, J., et al., *A novel method to solve supplier selection problem: Hybrid algorithm of genetic algorithm and ant colony optimization*. Mathematics and Computers in Simulation, 2019. **156**: p. 294-309.
26. Rodríguez, N., et al., *Optimization algorithms combining (meta) heuristics and mathematical programming and its application in engineering*. 2018.
27. Mirjalili, S., et al., *Salt Swarm Algorithm: A bio-inspired optimizer for engineering design problems*. Advances in engineering software, 2017. **114**: p. 163-191.
28. Alabool, H.M., et al., *Harris hawks optimization: a comprehensive review of recent variants and applications*. Neural computing and applications, 2021. **33**: p. 8939-8980.
29. Kamboj, V.K., et al., *An intensify Harris Hawks optimizer for numerical and engineering optimization problems*. Applied Soft Computing, 2020. **89**: p. 106018.
30. Fan, J., Y. Li, and T. Wang, *An improved African vultures optimization algorithm based on tent chaotic mapping and time-varying mechanism*. Plos one, 2021. **16**(11): p. e0260725.
31. Liu, R., et al., *Improved African vulture optimization algorithm based on quasi-oppositional differential evolution operator*. IEEE Access, 2022. **10**: p. 95197-95218.
32. Awadallah, M.A., et al., *Binary Horse herd optimization algorithm with crossover operators for feature selection*. Computers in biology and medicine, 2022. **141**: p. 105152.
33. Hosseinalipour, A. and R. Ghanbarzadeh, *A novel approach for spam detection using horse herd optimization algorithm*. Neural Computing and Applications, 2022. **34**(15): p. 13091-13105.
34. Abualigah, L., et al., *Ant lion optimizer: a comprehensive survey of its variants and applications*. Archives of Computational Methods in Engineering, 2021. **28**: p. 1397-1416.
35. Mohamed, A.W., et al., *Evaluating the performance of meta-heuristic algorithms on CEC 2021 benchmark problems*. Neural Computing and Applications, 2023. **35**(2): p. 1493-1517.
36. Khodadadi, N., et al., *A comparison performance analysis of eight meta-heuristic algorithms for optimal design of truss structures with static constraints*. Decision Analytics Journal, 2023. **8**: p. 100266.
37. Gürgen, S., et al., *A comprehensive performance analysis of meta-heuristic optimization techniques for effective organic rankine cycle design*. Applied Thermal Engineering, 2022. **213**: p. 118687.
38. Khari, M., et al., *Performance analysis of six meta-heuristic algorithms over automated test suite generation for path coverage-based optimization*. Soft Computing, 2020. **24**(12): p. 9143-9160.